



دانشگاه شهید بهشتی

دانشکده برق

پایان نامه کارشناسی مهندسی برق

پردازش سیگنال نوار قلبی (ECG) بوسیله

شبکه های عصبی در پایتون

استاد راهنما:

دکتر علیرضا یزدی زاده

نگارش:

سجاد رضوانی خالدي

زمستان ۱۴۰۲



تشکر و قدردانی

از استاد گرانقدر جناب آقای دکتر علیرضا یزدی زاده که زحمت راهنمایی این پایان نامه را بر عهده داشتند،
کمال تشکر را دارم. همچنین از پدر و مادر دلسوزم بابت حمایت های بی دریغشان، سپاسگزارم.

سجاد رضوانی خالدي

آیین نامه حق مالکیت مادی و معنوی در مورد نتایج پژوهشهای علمی دانشگاه شهید بهشتی

مقدمه: با عنایت به سیاست‌های پژوهشی و فناوری دانشگاه در راستای تحقق عدالت و کرامت انسان‌ها که لازمه شکوفایی علمی و فنی است و رعایت حقوق مادی و معنوی دانشگاه و پژوهشگران، لازم است اعضای هیأت علمی، دانشجویمان، دانش‌آموختگان و دیگر همکاران طرح، در مورد نتایج پژوهشهای علمی که تحت عناوین پایان‌نامه، رساله و طرحهای تحقیقاتی با هماهنگی دانشگاه انجام شده‌است، موارد زیر را رعایت نمایند:

ماده ۱- حق نشر و تکثیر پایان نامه/ رساله و درآمدهای حاصل از آنها متعلق به دانشگاه می‌باشد ولی حقوق معنوی پدید آورندگان محفوظ خواهد بود.

ماده ۲- انتشار مقاله یا مقالات مستخرج از پایان‌نامه/ رساله به صورت چاپ در نشریات علمی و یا ارائه در مجامع علمی باید به نام دانشگاه بوده و با تایید استاد راهنمای اصلی، یکی از اساتید راهنما، مشاور و یا دانشجو مسئول مکاتبات مقاله باشد. ولی مسئولیت علمی مقاله مستخرج از پایان نامه و رساله به عهده اساتید راهنما و دانشجو می‌باشد.

تبصره: در مقالاتی که پس از دانش‌آموختگی بصورت ترکیبی از اطلاعات جدید و نتایج حاصل از پایان‌نامه/ رساله نیز منتشر می‌شود نیز باید نام دانشگاه درج شود.

ماده ۳- انتشار کتاب، نرم افزار و یا آثار ویژه (اثری هنری مانند فیلم، عکس، نقاشی و نمایشنامه) حاصل از نتایج پایان‌نامه/ رساله و تمامی طرحهای تحقیقاتی کلیه واحدهای دانشگاه اعم از دانشکده‌ها، مراکز تحقیقاتی، پژوهشکده‌ها، پارک علم و فناوری و دیگر واحدها باید با مجوز کتبی صادره از معاونت پژوهشی دانشگاه و براساس آئین نامه های مصوب انجام شود.

ماده ۴- ثبت اختراع و تدوین دانش فنی و یا ارئه یافته ها در جشنواره‌های ملی، منطقه‌ای و بین‌المللی که حاصل نتایج مستخرج از پایان‌نامه/ رساله و تمامی طرحهای تحقیقاتی دانشگاه باید با هماهنگی استاد راهنما یا مجری طرح از طریق معاونت پژوهشی دانشگاه انجام گیرد.

ماده ۵- این آیین‌نامه در ۵ ماده و یک تبصره در تاریخ در شورای پژوهشی و در تاریخ در هیأت رئیسه دانشگاه به تایید رسید و در جلسه مورخ شورای دانشگاه به تصویب رسیده و از تاریخ تصویب در شورای دانشگاه لازم‌الاجرا است.

"اینجانب سجاد رضوانی خالدي دانشجوي رشته مهندسي برق ورودی سال تحصیلی ۱۳۹۸ مقطع کارشناسی دانشکده مهندسی برق متعهد می شوم کلیه نکات مندرج در آئین نامه حق مالکیت مادی و معنوی در مورد نتایج پژوهش های علمی دانشگاه شهید بهشتی را در انتشار یافته های علمی مستخرج از پایان نامه/ رساله تحصیلی خود رعایت نمایم. در صورت تخلف از مفاد آئین نامه فوق الاشعار به دانشگاه وکالت و نمایندگی می دهم که از طرف اینجانب نسبت به لغو امتیاز اختراع به نام بنده و یا هر گونه امتیاز دیگر و تغییر آن به نام دانشگاه اقدام نماید. ضمناً نسبت به جبران فوری ضرر و زیان حاصله بر اساس برآورد دانشگاه اقدام خواهم نمود و بدینوسیله حق هر گونه اعتراض را از خود سلب نمودم."

امضا:

تاریخ:

چکیده

بیماری های قلبی یکی از علل اصلی مرگ و میر در میان انسان ها در سراسر دنیا هستند که هرساله جان بسیاری را می گیرند. تحلیل سیگنال های الکتریکی قلب که به الکتروکاردیوگرام یا نوار قلب معروف هستند، از اصلی ترین روش های تشخیص این بیماری های قلبی هستند که توسط پزشکان صورت می گیرد تا از بیماری های قلبی پیشگیری کنند یا پس از دچار شدن بیمار به آنها، به درمان بیماری بپردازند. حال از آنجایی که تشخیص بیماری های قلبی توسط سیستم های کامپیوتری از جمله هوش مصنوعی دارای دقت و سرعت بالاتری نسبت به تشخیص انسانی دارد، مدل های مختلفی در این حوزه ارائه شده است که همگی سعی دارند تا دقت یا سرعت پردازش سیگنال و تشخیص بیماری را افزایش بدهند یا رویکردی جدید را برای این تشخیص ارائه دهند ولی در این بین چالش هایی از جمله پیچیدگی سیگنال ها یا کمبود داده در نتیجه اورفیت شدن مدل ها مطرح است که باید بر آنها غلبه کرد. پژوهش ما با تست و بررسی مدل هایی بر پایه شبکه های LSTM و CNN بروی دیتاست PTB-XL و مقایسه دقت نهایی این مدل ها به مدلی بر پایه CNN یک بعدی با دقت مناسب دست پیدا کرد که با دقت ۷۹.۲۴ درصد به پیش بینی بیماری ساجکت در ۵ کلاس می پردازد و با توجه به بررسی های انجام شده در قسمت پیشینه پژوهش که بهترین دقت مقاله اول ۷۶ درصد و بهترین دقت مقاله دوم ۷۴.۹-۷۹.۱ درصد بود، دقت بدست آمده در این پژوهش (۷۹.۲۴) بهتر از این مدل ها عمل می کند و به بهترین دقت مقاله سوم که ۷۷.۹-۸۰.۲ درصد بود، بسیار نزدیک است در میان بازه آن قرار دارد.

واژه های کلیدی - نوار قلب، دسته بندی سیگنال قلبی، شبکه های عصبی، یادگیری عمیق.

فهرست

فصل ۱- مقدمه ای بر پژوهش.....	۱
۱-۱- پیشگفتار.....	۲
۱-۲- بیان مسئله.....	۲
۱-۳- اهداف کلی پروژه.....	۳
۱-۴- پرسش‌های پژوهش.....	۳
۱-۵- اهمیت و ضرورت پژوهش.....	۳
۱-۶- پیشینه پژوهش.....	۵
۱-۷- فعالیت‌های انجام شده در این پایان‌نامه.....	۵
فصل ۲- مفاهیم و تعاریف.....	۷
۲-۱- تعریف هوش مصنوعی و کاربرد آن در علم پزشکی.....	۸
۲-۲- نقاط ضعف هوش مصنوعی در پزشکی.....	۹
۲-۳- پردازش سیگنال و کاربرد و اهمیت آن در پزشکی و بیماری‌های قلبی.....	۱۰
۲-۴- قلب و ساختار الکتریکی آن.....	۱۲
۲-۵- سیگنال قلبی ECG (نوار قلب).....	۱۵
۲-۶- تعریف شبکه‌های عصبی عمیق.....	۱۸
۲-۷- ساختار شبکه عصبی.....	۱۹
۲-۷-۱- نرون‌ها:.....	۱۹
۲-۷-۲- ورودی‌ها:.....	۲۰
۲-۷-۳- وزن‌ها:.....	۲۰
۲-۷-۴- تابع فعال‌سازی.....	۲۱
۲-۷-۵- خروجی:.....	۲۲
۲-۷-۶- تابع هزینه.....	۲۲

۲۳	۲-۷-۷- بهینه سازی
۲۳	۲-۷-۸- بازگشت به عقب
۲۵	۲-۸- پیش پردازش داده ها
۲۷	فصل ۳- دیتاست پژوهش و بررسی های آماری آن
۲۸	۳-۱- دیتاست مورد استفاده
۳۰	۳-۲- توضیح کلاس بندی لیبل های دیتاست
۳۱	۳-۳- پیاده سازی اولیه و بررسی های آماری
۴۱	فصل ۴- پیاده سازی مدل و بررسی نتایج
۴۲	۴-۱- پیاده سازی شبکه های عمیق در پایتون
۴۲	۴-۲- مدل LSTM چیست
۴۳	۴-۳- مدل CNN چیست
۴۴	۴-۴- پیاده سازی معماری های بر پایه LSTM
۴۴	۴-۴-۱- معماری پایه LSTM
۴۵	۴-۴-۲- افزایش پیچیدگی شبکه LSTM
۴۶	۴-۴-۳- کاهش رگولاریزیشن LSTM
۴۷	۴-۵- پیاده سازی معماری های بر پایه CNN
۴۷	۴-۵-۱- CNN در حوزه فرکانسی با استفاده از STFT, CWT
۵۳	۴-۵-۲- CNN یک بعدی در حوزه زمانی (مدل موفق نهایی)
۵۹	فصل ۵- نتیجه گیری
۶۰	۵-۱- تحقیقات بیشتر در آینده
۶۱	۵-۲- نتیجه گیری نهایی
۶۱	-منابع

فهرست شکل ها

- شکل ۱-۲- اجزای سیستم هدایت الکتریکی قلب..... ۱۴
- شکل ۲-۲- دوازده لید اصلی سیگنال نوار قلب..... ۱۶
- شکل ۲-۳- پنج موج اصلی نوار قلب..... ۱۷
- شکل ۲-۴- ساختار یه شبکه عصبی..... ۲۰
- شکل ۳-۵- نمودار وجود یا عدم وجود داده‌ی جدولی..... ۳۳
- شکل ۳-۶- سیگنال نوار قلبی سابجکت اول را با ۱۲ کانال آن..... ۳۵
- شکل ۳-۷- تبدیل فوریه ۱۲ کانال سابجکت اول..... ۳۶
- شکل ۳-۸- پیک های R سیگنال..... ۳۷
- شکل ۴-۱- ساختار معماری شبکه پایه LSTM..... ۴۴
- شکل ۴-۲- ساختار معماری شبکه افزایش یافته LSTM..... ۴۵
- شکل ۴-۳- ساختار معماری شبکه مدل ساده شده LSTM..... ۴۶
- شکل ۴-۴- خروجی تبدیل شورت تایم فوریه روی ۶ کانال سابجکت اول..... ۴۸
- شکل ۴-۵- ساختار شبکه در مدل باورودی فرکانسی..... ۴۹
- شکل ۴-۶- خروجی تبدیل CWT از کانال اول سابجکت اول..... ۵۱
- شکل ۴-۷- مشکل کمبود منابع محاسباتی در تبدیل CWT..... ۵۱
- شکل ۴-۸- ساختار مدل CNN یک بعدی..... ۵۳
- شکل ۴-۹- روند کاهش هزینه و افزایش دقت مدل در طی فرآیند یادگیری مدل..... ۵۶
- شکل ۴-۱۰- نمودار ROC در کلاس های مختلف در مدل CNN یک بعدی..... ۵۸

فهرست جداول

جدول ۳-۱- کلاس بندی لیبل های داده	۲۹
جدول ۳-۲- نمایی از چند سطر اول دیتاست ecg_data	۳۳
جدول ۳-۳- فرمت one hot انکد لیبل ها	۳۸
جدول ۴-۴- confusion matrix مدل CNN یک بعدی	۵۷

فصل ۱ – مقدمه ای بر پژوهش

۱-۱- پیشگفتار

امروزه تحقیقات مبتنی بر هوش مصنوعی و شبکه‌های عصبی در حوزه پردازش و دسته‌بندی سیگنال‌های قلبی از اهمیت بسیار زیادی برخوردار است زیرا می‌تواند تاثیر به سزایی در زندگی و سلامتی انسان‌ها داشته باشد. پروژه حاضر به منظور بررسی روش‌های تحلیل سیگنال‌های قلبی با استفاده از روش‌های هوش مصنوعی و شبکه‌های عصبی برای رسیدن به دقت بالا برای تشخیص بیماری‌های قلبی طراحی شده است.

این تحقیق به منظور مقابله با چالش‌های موجود در تحلیل سیگنال‌های قلبی، از جمله پیچیدگی‌های الگوهای قلبی، به روش‌های شبکه عصبی و یادگیری عمیق متکی است. امیدواریم که این تحقیق عملکرد سیستم‌های پزشکی را در تشخیص و پیش‌بینی بیماری‌های قلبی ارتقا داده و به بهبود بیماران کمک نماید.

۱-۲- بیان مسئله

انسان همواره سعی داشته در زمینه‌های مختلف که یکی از مهم‌ترین آن‌ها پزشکی است از تکنولوژی کمک بگیرد تا جای ممکن به دقت، سرعت و راحتی بالاتری در امور مربوط به پزشکی و سلامتی خود دست پیدا کند. در این پژوهش مسئله اصلی این است که بررسی سیگنال‌های قلبی که در حال حاضر در مراکز درمانی توسط پزشکان صورت می‌گیرد، می‌تواند با کمک هوش مصنوعی، با دقت، سرعت و دسترسی بیشتری صورت گیرد. برای پی بردن به جزئیات این مسئله به این مثال توجه کنید. زمانی که افراد برای هر نوع بیماری جدیدی که به تازگی علائم آن را احساس کرده‌اند، به بیمارستان مراجعه می‌کنند، یکی از اولین روش‌های تشخیص اولیه بیماری‌ها در اورژانس، گرفتن نوار قلب و بررسی آن توسط پزشک متخصص است. زیرا نوار قلب می‌تواند یکی از روش‌های جامع تشخیص بیماری‌ها به صورت اولیه باشد. ولی مشکل اصلی این است که تشخیص آن به دانش و تخصص بسیار توسط پزشک نیاز دارد بنابراین مسئله اول این است که همواره پزشکانی با این حد از دانش و تخصص در دسترس نیستند. علاوه بر این بررسی تعداد زیادی نوار قلب برای پزشک متخصص در زمان محدودی که دارد، زمان‌بر است. بنابراین استفاده پیوسته از پزشک برای چکاپ و پیشگیری بیماری‌ها توسط عموم مردم می‌تواند بسیار هزینه‌بر و غیر بهینه باشد. در آخر مهم‌تر از همه این‌ها، به هر حال پزشکان دارای خطای انسانی هستند و باتوجه به اهمیت و حساسیت تشخیص یا پیشگیری بیماری‌ها، هرچه قدر بتوان دقت و سرعت پردازش این سیگنال‌های حیاتی را به وسیله سیستم‌های هوش مصنوعی افزایش داد، بسیار ارزشمند خواهد بود. ناگفته نماند که عدم تخصص بسیاری از پزشکان مخصوصاً در افراد کم تجربه‌تر و تازه‌کار باعث کاهش دقت و بروز خطای دوچندان در تشخیص بیماری می‌شود که می‌تواند باعث ضررهای جبران ناپذیر شود.

۱-۳- اهداف کلی پروژه

هدف از این پروژه طراحی مدلی بر پایه شبکه عصبی است که در ورودی ۱۲ سیگنال نوار قلبی سابجکت را می‌گیرد و با دقت خوبی در خروجی شبکه، کلاس بیماری قلبی را در یکی از ۵ کلاس طبقه بندی می‌کند.

برای حل مسئله موجود با این روش باید توجه کرد که سیستم های کامپیوتری به خصوص پژوهش ما، روش هایی بر پایه هوش مصنوعی و شبکه عصبی، می‌توانند عملکرد خوبی در سیستم هایی که داده زیادی از آن ها در دست است، از جمله سیستم های پزشکی داشته باشد. بنابراین با یاری گرفتن از این سیستم ها در حوزه پزشکی می‌توان بر همه ی نواقص سیستم های تمام انسانی از جمله موارد زیر غلبه کرد:

اول، سیستم کامپیوتری می‌تواند همواره در دسترس باشد و مانند سیستم های انسانی خسته نمی‌شود و به استراحت نیاز ندارد. همچنین با پیشرفت چشم‌گیر و همه گیری سخت افزار های کامپیوتری، امکان دسترسی به سیستم های محاسباتی در لحظه برای بسیاری آسان تر شده است.

دوم، به همان دلیل مورد اول، برخلاف سیستم های انسانی، با استفاده از سیستم های کامپیوتری می‌توان به صورت مرتب و در زمان های مشخص داده را برای پردازش توسط این الگوریتم ها فرستاد و از این روش برای چکاپ منظم افراد با هزینه بسیار کمتر و دسترسی آسان بجای پزشک متخصص استفاده کرد.

سوم، سیستم های کامپیوتری بخصوص هوش مصنوعی همواره ثابت کرده اند که می‌توانند در تسک های مختلف ریاضیاتی و پردازش سیگنالی سریع تر و دقیق تر از انسان ها باشند.

۱-۴- پرسش های پژوهش

آیا هوش مصنوعی می‌تواند تحلیل سیگنال های حیاتی بدن را مانند سیگنال قلبی ECG که به نوار قلب معروف است با دقت قابل قبولی انجام دهد؟

از چه الگوریتم های هوش مصنوعی برای پردازش سیگنال های حیاتی قلب می‌توان استفاده کرد و دقت آنها چه قدر است؟

۱-۵- اهمیت و ضرورت پژوهش

بیماری های قلبی یکی از موارد شایع مرگ و میر در میان افراد مخصوصا در سنین بالاتر هستند. این بیماری علت اصلی مرگ و میر در بین مردان، زنان و افراد زیادی از گروه های نژادی و اقوامی مختلف در ایالات

متحدہ است. ہر ۳۳ ثانیہ یک نفر در ایالات متحدہ بہ علت بیماری قلبی عروقی جان خود را از دست می‌دہد. حدود ۶۹۵۰۰۰ نفر در ایالات متحدہ در سال ۲۰۲۱ از بیماری قلبی جان خود را از دست دادند کہ این بہ معنی یک نفر در ہر پنج نفر است. [۱] همچنین در ایالات متحدہ، ہر سالہ حدود ۸۰۵۰۰۰ نفر در ایالات متحدہ سکته قلبی می‌کنند و بہ صورت میانگین ہر ۴۰ ثانیہ یک نفر سکته قلبی می‌کند کہ نشان دہندہ آمار بسیار قابل توجہی است. [۱] ہمہی این آمار ہا نشان دہندہ اہمیت و ضرورت پیشگیری و درمان این عارضہ است زیرا می‌تواند باعث نجات جان بسیاری از انسان ہا شود. تشخیص بیماری‌ہای قلبی معمولاً بر اساس تاریخچہ بالینی بیمار، تست ہای فیزیکی و تست ہای تشخیصی صورت می‌گیرد. ECG یکی از معروفترین و پرکاربردترین تست ہای قلبی است. این تست برای ثبت فعالیت الکتریکی قلب بہ کمک الکترودہا انجام می‌شود. الکترودہا بر روی پوست بدن قرار می‌گیرند و الگوی نوسانات الکتریکی قلب را ثبت می‌کنند. الگوہای نوسانی ثبت شدہ توسط ECG می‌توانند نشانگر نقاط ضعف، اختلالات ریتمی، یا حملات قلبی باشند. پردازش سیگنال‌ہای قلبی بہ عنوان یکی از حوزه‌ہای مہم در پزشکی و علوم پزشکی، اہمیت و ضرورت بسیاری دارد. در زیر بہ برخی از این اہمیت‌ہا و ضرورت‌ہا اشارہ می‌کنم: [۲]

۱-۵-۱- تشخیص بیماری‌ہای قلبی

پردازش سیگنال‌ہای قلبی بہ پزشکان امکان می‌دہد تا الگوہای ناهمہنگی و اختلالات در فعالیت الکتریکی قلب را تشخیص دہند. این الگوہا می‌توانند نشانگر آریتمی‌ہا، انسداد عروق و بیماری‌ہای قلبی دیگر باشند.

۱-۵-۲- پیش‌بینی خطرات قلبی

با استفادہ از پردازش سیگنال‌ہای قلبی، می‌توان بہ تحلیل علائمی مانند تغییرات در فاصلہ بین نوسانات قلبی، شدت موج‌ہا و تغییرات در نوسانات الکتریکی پرداخت تا خطرات مربوط بہ بیماری‌ہای قلبی را پیش‌بینی کرد.

۱-۵-۳- مانیتورینگ مرتب بیماران

پردازش سیگنال‌ہای قلبی می‌تواند در مانیتورینگ بیماران با بیماری‌ہای قلبی مفید باشد. این فرآیند می‌تواند بہ پزشکان اطلاعات در لحظہ از فعالیت قلب بیماران را ارائہ دہد و در صورت لزوم، اقدامات درمانی فوری را آغاز کند.

با توجہ بہ این نکات، می‌توان نتیجہ گرفت کہ پردازش سیگنال‌ہای قلبی نقش بسیار مہمی در تشخیص، پیش‌بینی، درمان و تحقیقات مرتبط با بیماری‌ہای قلبی دارد و از اہمیت و ضرورت بالایی برخوردار است.

۱-۶- پیشینه پژوهش

هوش مصنوعی و یادگیری ماشین در زمینه پردازش سیگنال‌های نوار قلب^۱ پیشرفت‌های قابل توجهی داشته‌اند و ابزارهای ارزشمندی را برای تشخیص و پایش بیماری‌های قلبی ارائه می‌دهند. تاریخچه توسعه هوش مصنوعی در تحلیل نوار قلب را می‌توان به صورت زیر بررسی کرد: [۲] [۳]

طبقه بندی سیگنال ECG بوسیله روش های یادگیری عمیق بر دیتاست PTB-XL: در این مقاله با استفاده از سه روش شبکه کانولوشنی، مدل SinceNet، ترکیب شبکه کانولوشنی با خصوصیات انتروپی به دسته بندی سیگنال ها در دو، پنج و بیست کلاس می‌پردازد که دقت نهایی بدست آمده این مدل ها در کلاس بندی پنج کلاسه در هر یک از این سه روش به ترتیب مساوی ۰.۷۲، ۰.۷۳ و ۰.۷۶۵ شده است. [۴]

تکنیک های یادگیری عمیق در طبقه بندی سیگنال های ECG با تشخیص پیک های R: این مطالعه کاربرد های یادگیری عمیق را در کلاس بندی سیگنال های ECG داده ست PTB-XL با تمرکز به استفاده از ویژگی های ظاهری سیگنال از جمله فاصله پیک های R بررسی می‌کند. بهترین دقت بدست آمده در مدل های مختلف تست شده توسط این مقاله در بازه ۷۴.۹-۷۹.۱ بوده است. [۵]

بررسی Few Shot learning برای طبقه بندی سیگنال های ECG در دیتاست PTB-XL: این پژوهش به دنبال یادگیری با نمونه های کم است که با استفاده از تعداد محدودی داده دقت قابل قبولی برای کلاس بندی سیگنال های نوار قلبی دیتاست PTB-XL بدست آورد و بدین منظور از ترکیب الگوریتم های کلاس بندی SVM و KNN با تکنیک های few shot learning به دقت های خوبی دست پیدا کرده است. از جمله در میان مدل ها مختلف تست شده بهترین دقت بدست آمده آنها ۷۷.۹-۸۰.۲ است. [۶]

۱-۷- فعالیت های انجام شده در این پایان نامه

در این پژوهش قصد داریم شبکه عصبی ای طراحی کنیم که سیگنال های نوار قلبی را در پنج کلاس طبقه بندی می‌کند. در فصل اول به مباحث آغازین و مقدمه بحث می‌پردازیم تا با مسئله اصلی که این پژوهش به آن می‌پردازد و سپس با اهداف و اهمیت این پژوهش آشنا شویم و در آخر به پیشینه این پژوهش اشاره می‌کنیم. در فصل دوم به توضیحات اولیه و بیان تعاریف و مفاهیم این حوزه پرداخته ایم و شبکه عصبی و طرز کار مدل سازی ها و اصطلاحات آنها را مطرح کردیم. در فصل سوم به دیتاست و بررسی های آماری آن

^۱ ECG (Electrocardiography)

می‌پردازیم. سپس در فصل چهارم به با تست و بررسی مدل‌هایی برپایه شبکه‌های LSTM و CNN بروی دیتاست XL_PTБ و مقایسه دقت نهایی این مدل‌ها به مدلی بر پایه CNN یک بعدی با دقت مناسب دست پیدا کردیم که با دقت ۷۹.۲۴ به پیش‌بینی بیماری ساجکت در ۵ کلاس می‌پردازد. در نهایت در فصل آخر نتیجه‌گیری نهایی را بیان کرده و مطالب این پژوهش را جمع‌بندی می‌کنیم.

فصل ۲- مفاهيم و تعاريف

۲-۱- تعریف هوش مصنوعی و کاربرد آن در علم پزشکی

هوش مصنوعی^۱ یک حوزه چند رشته‌ای است که علوم کامپیوتر و داده‌هایی که در هر سیستمی وجود دارد را ترکیب می‌کند تا امکان حل مسائل فراهم شود. این شامل ایجاد سیستم‌هایی است که می‌توانند فرآیندهای فکری انسان را تقلید کرده و وظایفی را انجام دهند که به طور معمول نیاز به هوش انسانی دارند. هوش مصنوعی شامل زیر حوزه‌هایی مانند یادگیری ماشین است و الگوریتم‌هایی را شامل می‌شود که می‌توانند از داده‌ها یاد بگیرند و پیش‌بینی یا طبقه‌بندی‌هایی انجام دهند.

هوش مصنوعی می‌تواند به دو نوع تقسیم شود: [۷]

(۱) هوش مصنوعی ضعیف، که به عنوان هوش مصنوعی محدود شناخته می‌شود و طراحی شده است تا وظایف خاصی را انجام دهد، مانند تشخیص بیماری، شناسایی صدا یا سیستم‌های پیشنهادی. این نوعی از هوش مصنوعی است که بیشتر مردم به طور روزانه با آن تعامل دارند، مانند Siri یا Alexa.

(۲) هوش مصنوعی قوی یا AGI، که همان هوش مصنوعی عمومی است و به سیستم‌هایی اشاره دارد که دارای هوش و خردمندی معادل یا فراتر از هوش انسانی هستند که توانایی تفکر و حل مسئله در همه موضوعات را دارند.

در دهه اخیر هوش مصنوعی و شبکه‌های عصبی تحول زیادی کردند و کاربرد آنها در بسیاری از زمینه‌ها از جمله پزشکی افزایش یافته است. یادگیری ماشین یکی از شاخه‌های هوش مصنوعی است که به روش‌هایی گفته می‌شود که بدون نیاز به برنامه‌نویسی مستقیم برای هر وظیفه از داده‌ها یاد بگیرند و الگوهایی را شناسایی کنند. این الگوریتم‌ها الگوها را از داده‌های ورودی استخراج می‌کنند و با تجزیه و تحلیل دقیق این داده‌ها، مدل‌هایی را ایجاد می‌کنند که به ارائه پیش‌بینی‌ها یا تصمیم‌های خروجی کمک می‌کنند. دسته‌ای از الگوریتم‌های هوش مصنوعی را شبکه عصبی می‌نامند. این شبکه‌ها قادرند الگوهای پیچیده را از داده‌ها استخراج کنند و با تجزیه و تحلیل دقیق آنها، تصمیم‌گیری را انجام دهند.

هوش مصنوعی یکی از فناوری‌های بسیار چالش‌برانگیز در علم پزشکی بوده و تأثیرات گسترده‌ای در تشخیص، پیش‌بینی و درمان بیماری‌ها داشته است. برای مثال هوش مصنوعی می‌تواند از داده‌های پزشکی مانند نتایج آزمایش‌های خون، فشار خون و داده‌های الکترونیکی پرونده‌های بیماران استفاده کند تا به پیش‌بینی بیماری‌ها و تغییرات در وضعیت سلامتی بپردازد. یا با تجزیه و تحلیل داده‌های پزشکی بوسیله هوش مصنوعی، می‌توان برنامه‌های درمانی شخصی‌سازی شده از جمله درمان‌های دارویی، رژیم غذایی و

^۱ Artificial Intelligence (AI)

برنامه تمرین فیزیکی برای بیماران تهیه کرد. اگرچه این تنها چند نمونه از کاربردهای هوش مصنوعی در علم پزشکی هستند. با رشد و پیشرفت روزافزون در این حوزه، انتظار می‌رود که کاربردهای بیشتر و نوآورانه‌تری از این فناوری در بهبود سلامتی انسان‌ها به وجود آید. [۸]

۲-۲- نقاط ضعف هوش مصنوعی در پزشکی

هوش مصنوعی قابلیت انقلابی در بهبود دقت و سرعت تشخیص بیماری‌ها و بهبود آن‌ها دارد، اما همچنین با چندین چالش و نقطه ضعف همراه است. در ادامه به برخی از آنها اشاره شده است:

۱-۲-۲- تصمیم‌گیری با جعبه سیاه

زمانی که از الگوریتم‌های هوش مصنوعی در مسائل استفاده می‌شود، پیش‌بینی‌ها قابل مشاهده و تفسیر پذیر نیستند. به عنوان مثال، در همین تحقیق در آخر به مدلی نهایی دست پیدا می‌کنیم که با دقتی بالا به دست بندی بیماری بر اساس الگوهای سیگنال می‌پردازد ولی زمانی که سیگنال را در یکی از دسته‌بندی بیماری‌ها قرار می‌دهد نمی‌توان فهمید که برچه اساس این تصمیم‌گیری را انجام داده است. تصمیم‌گیری با جعبه سیاه به معضلی اشاره دارد که در فناوری هوش مصنوعی به وجود می‌آید، زمانی که پیش‌بینی‌ها یا تصمیمات توسط سیستم‌های هوش مصنوعی انجام می‌شوند و فرآیند یا مکانیزم دقیقی برای توضیح دلیل این تصمیمات در دسترس نیست. در مواردی که تصمیم‌گیری با جعبه سیاه صورت می‌گیرد، افراد نمی‌توانند به طور کامل بفهمند چرا یک سیستم هوش مصنوعی یک تصمیم خاص را اتخاذ کرده است. به عنوان مثال، یک الگوریتم پردازش تصویر ممکن است یک تصویر از بیمار را بررسی کرده و یک تشخیص ارائه دهد، اما دلیل دقیقی که منجر به آن تصمیم شده است، در دسترس نیست. این می‌تواند منجر به ناامنی و عدم اطمینان در مورد صحت و قابلیت اعتماد تصمیمات سیستم هوش مصنوعی شود، زیرا کاربران و ارائه دهندگان خدمات نمی‌توانند دقیقاً درک کنند که سیستم چگونه به تصمیمات خود رسیده است. این مشکل می‌تواند از موانع اصلی در مقبولیت و گسترش استفاده از هوش مصنوعی در برخی از زمینه‌ها باشد، به خصوص زمینه‌هایی که امنیت، اعتماد و شفافیت موارد حیاتی هستند. برای حل این چالش، نیاز به توسعه روش‌هایی برای توضیح و تفسیر تصمیمات گرفته شده توسط سیستم‌های هوش مصنوعی وجود دارد تا اعتماد و قابلیت اطمینان در این سیستم‌ها تقویت شود. [۹]

۲-۲-۲- پیچیدگی‌های آموزش

الگوریتم‌های هوش مصنوعی به داده‌ی زیاد برای آموزش نیاز دارند بنابراین در مسائلی که داده‌ی زیادی از مسئله موجود نیست یا جمع‌آوری داده سخت است، ممکن است لزوماً کارآمد نباشند. همچنین پردازش این

داده‌ی زیاد در مرحله یادگیری الگوریتم نیاز به سیستم‌های محاسباتی قوی دارد که باید مد نظر قرار گیرد. [۱۰]

۳-۲-۲- غیرقابل لمس و اعتماد بودن

هوش مصنوعی هنوز به طور کامل و به طور ایمن قادر به جایگزینی پزشکان انسانی در تصمیم‌گیری نیست. در برخی مواقع، یک پزشک ممکن است با دقت به ایمنی و راحتی بیمار توجه کرده و سپس تصمیم‌گیری کند ولی هوش مصنوعی‌های فعلی منطق بیشتری در نظر می‌گیرند که در بعضی مواقع ممکن است لزوماً مفید نباشد. به عبارتی دیگر هنوز مراوده‌ی انسان با انسان مخصوصاً در حوزه پزشکی، راحت‌تر و قابل اعتمادتر از انسان با هوش مصنوعی است. [۹]

۴-۲-۲- تغییر در توزیع داده و پیامدهای غیرمترقبه اش

الگوریتم‌های هوش مصنوعی می‌توانند به توزیع داده آموزش وابسته باشند. یعنی ممکن است اگر داده‌ای در مرحله تست به آن‌ها داده شود که حتی مشابه آن را در مرحله آموزش ندیده باشند، خروجی ناصحیح بدهند. به عنوان مثال، الگوهای بیماری ممکن است در طول زمان تغییر کنند، که منجر به اختلاف بین داده‌های آموزش و داده‌های تست شود که موجب پیامدهای غیر قابل انتظار در خروجی این الگوریتم‌ها می‌شود. [۳]

این چالش‌ها نیاز به اجرای دقیق و نظارت مداوم بر سیستم‌های هوش مصنوعی در حوزه پزشکی را برای اطمینان از ایمنی بیمار و نتایج درمان مؤثر برجسته می‌کنند ولی ناگفته نماند که تحقیقات و بررسی‌های فراوانی در تمام جهان در این حوزه در حال انجام است و هیچ کدام از نقاط ضعف ذکر شده در بالا نتوانسته مانع غیرقابل حلی برای پیشرفت و همه‌گیری هوش مصنوعی در علم پزشکی شود.

یادگیری عمیق پس از یک دوره کاهش علاقه به تحقیقات هوش مصنوعی به دلیل محدودیت‌ها و دشواری‌های آن در دهه ۱۹۹۰ و اوایل دهه ۲۰۰۰، به عنوان یک پیشرفت قابل توجه در این زمینه ظهور کرد و به عنوان زیرمجموعه‌ای از یادگیری ماشین، نقش محوری در بازگشت هوش مصنوعی داشت که به توضیحات دقیق‌تر آن خواهیم پرداخت. [۱۱]

۲-۳- پردازش سیگنال پزشکی و اهمیت و کاربرد آن در بیماری‌های قلبی

پردازش سیگنال به معنای تبدیل یا تغییر داده‌ها به روشی است که به ما امکان می‌دهد چیزهایی را در آن ببینیم که با مشاهده مستقیم قابل مشاهده نیستند. پردازش سیگنال به مهندسان و دانشمندان این امکان را

می دهد که سیگنال ها، از جمله داده های علمی، داده های صوتی، تصاویر و ویدیوها را تجزیه و تحلیل و اصلاح کنند. [۱۲] [۱۳]

پردازش سیگنال در حوزه پزشکی یکی از بخش های بسیار مهم و حیاتی است که در تشخیص، پیش بینی و درمان بیماری ها اهمیت زیادی دارد. در این زمینه، سیگنال هایی مانند سیگنال های الکتروفیزیولوژیکی (مانند سیگنال های قلبی، مغزی و عضلانی)، تصویربرداری پزشکی (مانند سیگنال های MRI و CT) و دیگر انواع سیگنال های پزشکی مورد بررسی قرار می گیرند. پردازش سیگنال های قلبی به عنوان یکی از حوزه های مهم در پزشکی و علوم پزشکی، اهمیت و ضرورت بسیاری دارد.

از کاربرد های پردازش سیگنال پزشکی به خصوص در زمینه قلبی میتوان به موارد زیر اشاره کرد: [۱۴]

۱-۳-۲- تشخیص بیماری ها:

سیگنال های قلبی مانند ECG: در اینجا، الگوریتم ها و مدل های پردازش سیگنال برای تشخیص نوارهای قلبی استفاده می شوند تا نقاط ناهنجاری مانند آریتمی ها و حملات قلبی شناسایی شوند.

سیگنال های مغزی مانند EEG: در اینجا، الگوریتم ها به دنبال الگوهایی از سیگنال های مغزی می گردند که ممکن است به نشانه هایی از بیماری هایی مانند صرع، اختلالات خواب یا حتی بیماری های نورولوژیکی اشاره کنند.

سیگنال های عضلانی مانند EMG: در اینجا، الگوریتم ها و مدل های پردازش سیگنال برای تحلیل فعالیت عضلات و شناسایی اختلالات عضلانی مانند بیماری های عضلانی از قبیل ALS استفاده می شود.

۲-۳-۲- پیش بینی بیماری ها:

این بخش از پردازش سیگنال بر پایه تحلیل الگوها و سری های زمانی سیگنال های بیماری را انجام می شود. مثلاً، با استفاده از الگوریتم های یادگیری ماشین، می توان الگوهایی از سیگنال های قلبی که پیش از حمله قلبی رخ می دهند را تشخیص داد و به پیش بینی حمله قلبی کمک کرد. همچنین با استفاده از پردازش سیگنال های قلبی، می توان به تحلیل علائمی مانند تغییرات در فاصله بین نوسانات قلبی، شدت موج ها و تغییرات در نوسانات الکتریکی پرداخت تا خطرات مربوط به بیماری های قلبی را پیش بینی کرد.

۳-۳-۲- رصد و نظارت بر وضعیت بیمار توسط سیستم های کامپیوتری:

در اینجا، سیگنال های مرتبط با وضعیت فیزیولوژیکی بیمار دائماً در سیستم های کامپیوتری توسط الگوریتم های مختلف از جمله هوش مصنوعی نظارت می شود. مثلاً در مواردی که بیمار نیاز به مانیتورینگ مداوم قلبی دارد، سیستم های پردازش سیگنال به صورت مداوم الگوهای نامطلوب را تشخیص داده و در صورت لزوم به پزشک اطلاع می دهند.

۴-۳-۲- طراحی دستگاه‌های پزشکی:

در این بخش، پردازش سیگنال به عنوان یکی از عناصر اساسی در طراحی دستگاه‌های پزشکی استفاده می‌شود. مثلاً در دستگاه‌های تصویربرداری مانند MRI و CT، سیگنال‌های دریافتی از بیمار باید به صورت دقیق و کامل پردازش شوند تا تصویری دقیق از وضعیت بدن بیمار ارائه شود.

۴-۳-۵- تصمیم‌گیری درمانی:

اطلاعات به دست آمده از پردازش سیگنال‌های قلبی می‌تواند به پزشکان کمک کند تا تصمیم‌های بهتری در مورد درمان بیماری‌های قلبی بگیرند. برای مثال، انتخاب نوع درمان مناسب برای آریتمی‌های قلبی بر اساس شدت و نوع آریتمی ممکن است توسط این اطلاعات تسهیل شود.

پس باتوجه با این کاربرد ها می‌توان فهمید به صورت کلی پردازش سیگنال در حوزه پزشکی نقش بسیار حیاتی و گسترده‌ای دارد و پردازش سیگنال‌های قلبی نقش مهمی در تشخیص، پیش‌بینی، درمان و تحقیقات مرتبط با بیماری‌های قلبی داراست و از اهمیت و ضرورت بالایی برخوردار است. حال به بررسی دقیق‌تر ساختار قلب و سیگنال های آن می‌پردازیم.

۲-۴- قلب و ساختار الکتریکی آن

قلب انسان عضوی چهار حفره‌ای است که وظیفه پمپاژ خون در سراسر بدن را بر عهده دارد. ساختار آن به گونه ای طراحی شده است که خون و اکسیژن را به طور مؤثر به بافت ها و اندام ها برساند. در اینجا اجزای اصلی ساختار قلب انسان آمده است: [۱۵] [۱۶]

حفره ها^۱: قلب از چهار حفره تشکیل شده است که دو دهلیز (حفره های بالایی) و دو بطن (حفره های پایینی) هستند. دهلیز راست خون بدون اکسیژن را از سیاهرگ های ریوی دریافت می کند و دهلیز چپ خون بدون اکسیژن را از سیاهرگ های بالایی و تحتانی دریافت می کند.

دریچه ها^۱: در قلب چهار دریچه وجود دارد که جریان خون را تنظیم می کنند. دو مورد در خروجی هر حفره یافت می شود - دریچه سه لختی در بطن راست و دریچه ریوی در بطن راست. دریچه میترا در دهلیز چپ و دریچه آئورت در بطن چپ از برگشت جریان خون جلوگیری می کنند.

دیواره ها^۲: دیواره قلب از سه لایه تشکیل شده است: لایه داخلی (اندوکارد)، لایه میانی (میوکارد) و لایه بیرونی (اپیکارد). اندوکارد داخل حفره ها و دریچه های قلب را پوشانده است، میوکارد حاوی سلول های عضلانی است که برای پمپاژ خون منقبض می شوند و اپیکارد خارج قلب را می پوشاند.

سیستم اسکلتی^۳: قلب توسط پریکارد، یک کیسه دو لایه که قلب را احاطه و محافظت می کند، حمایت می شود. لایه بیرونی، به نام پریکارد فیبری، به دنده ها و جناغ سینه متصل می شود، در حالی که لایه داخلی، پریکارد احشایی، خود قلب را پوشانده است.

رگ های خونی^۴: قلب از طریق عروق کرونری که از آئورت منشعب می شوند، از بدن خون دریافت می کند. این عروق، خون غنی از اکسیژن را به عضله قلب می رسانند. گردش خون کرونری برای عملکرد قلب حیاتی است زیرا تضمین می کند که عضله قلب به اندازه کافی اکسیژن دریافت می کند.

موقعیت^۵: قلب بین دو ریه و کمی به سمت چپ مرکز، پشت جناغ سینه، روی دیافراگم که پرده بین قفسه سینه و حفره شکمی است، قرار دارد.

Valves ^۱

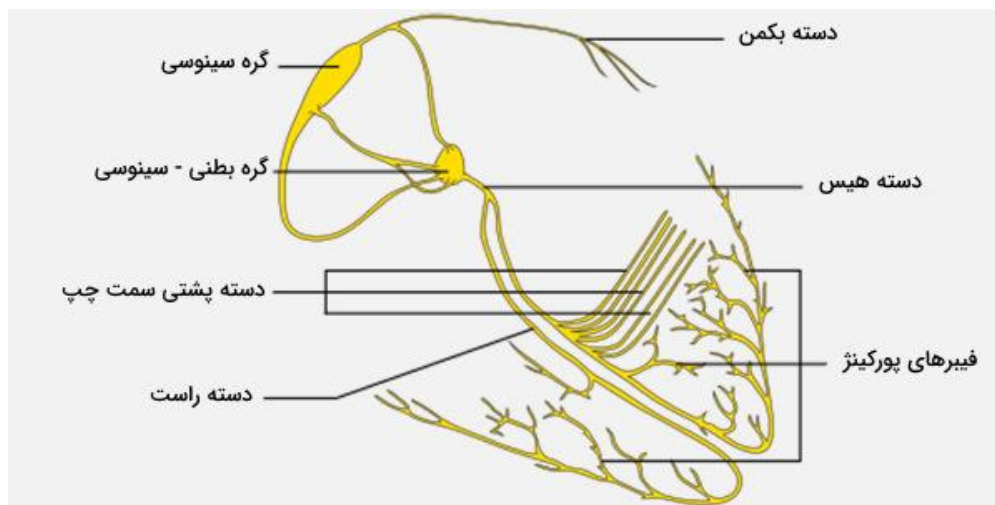
Walls ^۲

Skeletal System ^۳

Vessels ^۴

Location ^۵

همچنین قلب برای کارکرد صحیح به سیستم الکتریکی منظم نیاز دارد. این سیستم هماهنگی انقباضات ماهیچه ای را ایجاد می کند که نیروی لازم برای حرکت خون را فراهم می کنند. دیاگرام این سیستم را در شکل زیر مشاهده می کنید:



شکل ۱-۲ اجزای سیستم هدایت الکتریکی قلب [۱۷]

اجزای اصلی سیستم هدایت الکتریکی قلب عبارتند از: [۱۸]

- (۱) **گره سینوسی^۱**: این گره در دهلیز راست قرار دارد و مانند ضربان ساز طبیعی قلب عمل می کند. تولید سیگنال الکتریکی از این گره آغاز می شود که باعث انقباض حفره های بالایی قلب می شود.
- (۲) **گره دهلیزی بطنی^۲**: این گره بین حفره های بالایی قرار دارد و سرعت انتقال سیگنال الکتریکی را کاهش می دهد تا بطن ها فرصت داشته باشند شل شوند و خون را پر کنند.
- (۳) **بسته هیس^۳**: این مجموعه ای از سلول های هدایت کننده است که از گره AV به سمت مرکز قلب امتداد می یابد. بسته هیس سیگنال الکتریکی را به سمت پایین هدایت می کند و مانند رسانای الکتریکی، جریان الکتریکی را به عمق قلب هدایت می کند.

^۱ SA node

^۲ AV node

^۳ Bundle of His

۴) شاخه های دسته هیس^۱: در قلب، دسته هیس به دو شاخه تقسیم می شود که سیگنال الکتریکی را به بطن ها منتقل می کنند.

۵) الیاف پورکنز^۲: این شبکه ای از سلول های هدایت کننده است که از شاخه های دسته هیس پخش می شود و ساختاری شبکه ای شبیه به چتر واژگون تشکیل می دهد. این الیاف سیگنال الکتریکی را در سراسر بطن ها پخش می کنند و باعث انقباض و خروج خون از قلب می شوند.

سیستم الکتریکی قلب بسیار هماهنگ است. سیگنال های الکتریکی از گره SA به گره AV و سپس به الیاف پورکنز منتقل می شوند، که تضمین می کند انقباضات قلب به صورت متوالی رخ می دهد و به حرکت منظم خون کمک می کند.

۲-۵- سیگنال قلبی ECG (نوار قلب)

بیماری های قلبی یک طیف گسترده از اختلالاتی هستند که قلب و عروق را درگیر می کنند. تشخیص بیماری های قلبی معمولاً بر اساس تاریخچه بالینی بیمار، اعمال جسمانی، تست های فیزیکی و تست های تشخیصی صورت می گیرد. ECG یکی از معروف ترین و پرکاربردترین تست های قلبی است. این تست برای ثبت فعالیت الکتریکی قلب به کمک الکترودها انجام می شود. از آنجایی که منبع الکتریکی اصلی در بالاتنه انسان، سیستم الکتریکی درون قلب است که شرح داده شد، الکترودهایی که بر روی پوست بدن قرار می گیرند، الگوی نوسانات الکتریکی قلب را ثبت می کنند. الگوهای نوسانی ثبت شده توسط ECG می توانند نشانگر اختلالات ریتمی یا حملات قلبی باشند. [۱۹]

ثبت سیگنال قلبی ECG به منظور ضبط الکتریکی فعالیت قلب و الگوی نوسانات الکتریکی قلب به کمک الکترودها انجام می شود. زمانی که قلب انقباض می کند، جریان الکتریکی از یک نقطه به دیگری در قلب حرکت می کند، که این الگوهای الکتریکی در ECG ثبت می شوند و به عنوان نوار قلب قابل مشاهده هستند.

نوار قلب معمولاً از ۱۲ کانال ضبط می شود که هر یک نمایانگر فعالیت الکتریکی در یک منطقه خاص از قلب هستند. این کانال ها به صورت استاندارد در نوارهای ECG به شرح زیر هستند: [۱۹]

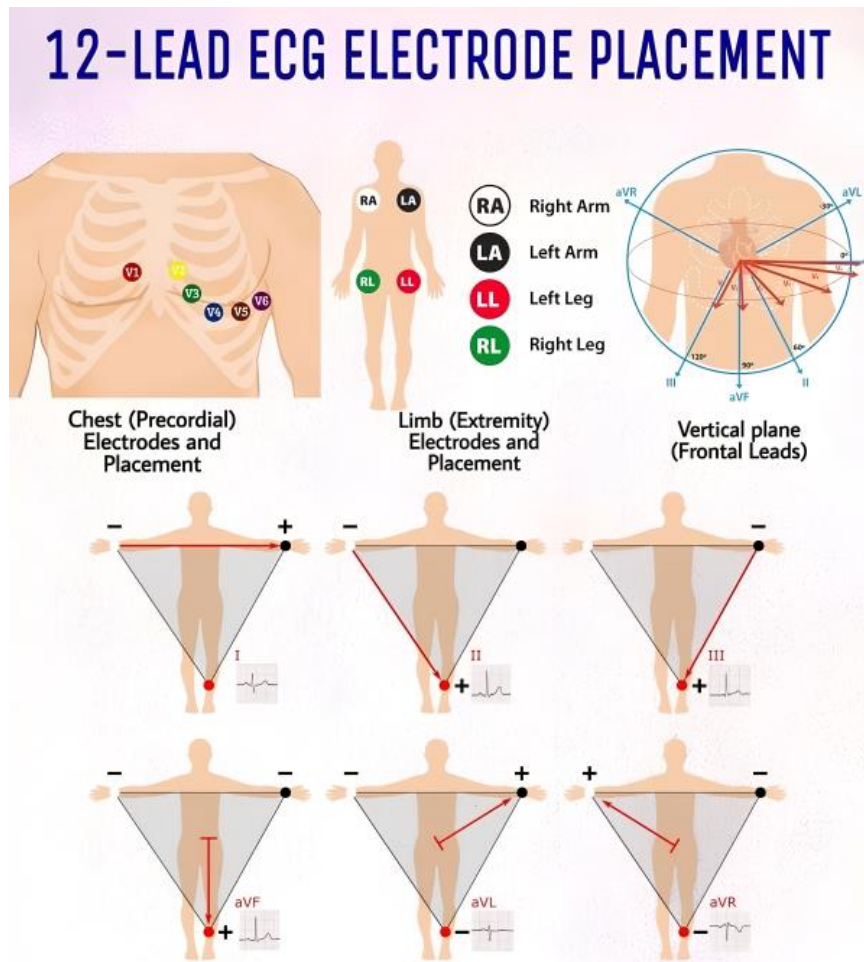
^۱ Bundle Branches

^۲ Purkinje Fibers

(۱) **Lead I, II, III, aVR, aVL, aVF**: شش کانال اصلی که از الکترودها که به لید های اندامی^۱ شناخته

می‌شوند.

(۲) **V۱ تا V۶**: شش کانال دیگر که الکترودها روی قفسه آسینه قرار دارند.



شکل ۲-۲ دوازده لید اصلی سیگنال نوار قلب [۲۰]

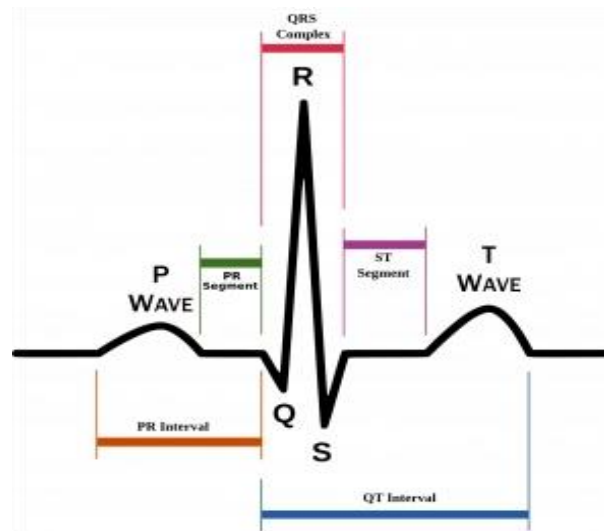
با تحلیل الگوها، فاصله بین موج‌ها و اندازه و شکل موج‌ها، پزشکان می‌توانند اطلاعات مهمی درباره عملکرد قلب، اختلالات ریتمی، آسیب‌های قلبی و اختلالات سایر اندام‌ها مانند الکترولیت‌ها و داروها را بدست آورند. این تست معمولاً در اورژانس‌ها، بخش‌های قلبی، مطب پزشکان و مراکز درمانی استفاده می‌شود و یکی از ابزارهای حیاتی برای تشخیص و درمان بیماری‌های قلبی است.

Limb leads^۱

Chest leads^۲

انقباضات قلب بوسیله الکتریسیته ناشی از سیستم الکتریکی قلب که توضیح داده شد، صورت می گیرد. این فعالیت الکتریکی همراه با انقباضات قلب، که باعث پمپاژ خون به سایر بخش های بدن می شود، اتفاق می افتد. ECG یکی از روش های مهم برای ثبت این فعالیت الکتریکی است. در این روش، الکترودها به دستگاه بدن اتصال داده می شوند و الکتریسیته که توسط قلب تولید می شود، توسط این الکترودها ضبط می شود.

نوار قلب یک نمودار دوبعدی است که شدت الکتریسیته را برحسب زمان نشان می دهد. هر نوار ECG شامل چندین بخش اصلی است که در شکل زیر می بینید:



شکل ۳-۲ پنج موج اصلی نوار قلب [۲۱]

موج P: نشان دهنده دیپولاریزاسیون دهلیزی است، یعنی زمانی که دهلیزها برای پمپاژ خون به داخل بطن ها منقبض می شوند.

کمپلکس QRS: این مجموعه ای از سه انحراف است که در یک نوار قلب معمولی دیده می شود. کمپلکس QRS با دیپولاریزاسیون بطن های راست و چپ که همان انقباض بطن ها است، مطابقت دارد.

موج T: نشان دهنده رپلاریزاسیون بطنی است، یعنی زمانی که بطن ها شل می شوند.

فاصله PR: فاصله PR از ابتدای موج P شروع شده و تا انتهای کمپلکس QRS ادامه می یابد. این فاصله، زمانی را نشان می دهد که سیگنال الکتریکی که از گره سینوسی از طریق گره AV وارد بطن ها می شود، طی می کند.

قطعه ST: قطعه ST از پایان کمپلکس QRS شروع شده و تا ابتدای موج T ادامه می یابد. این دوره زمانی را نشان می دهد که بطن ها دیپولاریزه شده اند.

با تحلیل این نوار، پزشکان می توانند اطلاعات مهمی راجع به فعالیت الکتریکی قلب، آریتمی ها، اختلالات ریتمی، عوارض قلبی و اختلالات مختلف دیگری که ممکن است بر روی سلامتی قلب تأثیر بگذارند، به دست

آورند. این اطلاعات برای تشخیص و درمان بیماری‌های قلبی بسیار ارزشمند هستند و ECG یکی از ابزارهای حیاتی برای مدیریت بیماران قلبی است.

۲-۶- تعریف شبکه‌های عصبی عمیق

شبکه‌های عصبی عمیق^۱ یک نوع از شبکه‌های عصبی مصنوعی هستند که از چندین لایه از نورون‌ها یا واحدهای پردازشی برای استخراج ویژگی‌های پیچیده و سطح بالا از داده‌های ورودی استفاده می‌کنند. این شبکه‌ها معمولاً شامل چندین لایه پنهان^۲ هستند که هر لایه به تدریج ویژگی‌های عمیق‌تر و جامع‌تری را از داده‌های ورودی استخراج می‌کند.

یک شبکه عصبی عمیق معمولاً شامل سه نوع لایه است:

(۱) لایه ورودی^۳:

این لایه وظیفه دریافت داده‌های ورودی را دارد. معمولاً هر نورون در این لایه به یک ویژگی یا ویژگی‌های خاص از داده‌های ورودی اختصاص دارد.

(۲) لایه‌های پنهان^۴:

این لایه‌ها بین لایه ورودی و خروجی قرار دارند و ویژگی‌های پیچیده‌تری را از داده‌های ورودی استخراج می‌کنند. هر لایه پنهان می‌تواند از چندین نورون تشکیل شده باشد و این نورون‌ها با استفاده از توابع فعال‌سازی مختلف و وزن‌های مختلف با یکدیگر ارتباط برقرار می‌کنند.

(۳) لایه خروجی^۵:

این لایه وظیفه تولید خروجی نهایی را بر اساس ویژگی‌های استخراج شده از لایه‌های پنهان دارد. معمولاً هر نورون در این لایه با یک کلاس مرتبط است که مورد پیش‌بینی یا تشخیص قرار می‌گیرد.

^۱ Deep Neural Networks یا DNNs

^۲ Hidden Layers

^۳ Input Layer

^۴ Hidden Layers

^۵ Output Layer

شبکه‌های عصبی عمیق به عنوان یکی از روش‌های کلیدی در حوزه هوش مصنوعی شناخته می‌شوند، زیرا این شبکه‌ها از توانایی یادگیری ویژگی‌ها و الگوهای داده‌های بزرگ و پیچیده بهره می‌برند. آن‌ها می‌توانند الگوهای پیچیده را در داده‌های ورودی شناسایی کرده و ویژگی‌های اساسی را استخراج کنند، که این ویژگی‌ها می‌توانند برای انواع کاربرد ها از جمله پیش‌بینی، دسته‌بندی، تشخیص الگو، ترجمه و تولید متن و دیگر وظایف هوش مصنوعی بخصوص در حوزه پزشکی مورد استفاده قرار گیرند.

یکی از ویژگی‌های مهم شبکه‌های عصبی عمیق این است که این شبکه‌ها در لایه‌های پنهان خود، کار استخراج ویژگی‌ها را از داده ورودی انجام می‌دهند. این ویژگی‌ها به صورت خودکار از داده‌ها استخراج می‌شوند و معمولاً نیازی به تعریف دستی ویژگی‌ها نیست. به این ترتیب، شبکه‌های عصبی عمیق قادرند الگوهای پیچیده‌تر و ارتباطات عمیق‌تر در داده‌ها را تشخیص دهند که این امکان را به آن‌ها می‌دهد تا عملکرد بهتری در وظایف مختلفی از جمله پردازش و پیش‌بینی سری‌های زمانی ارائه دهند.

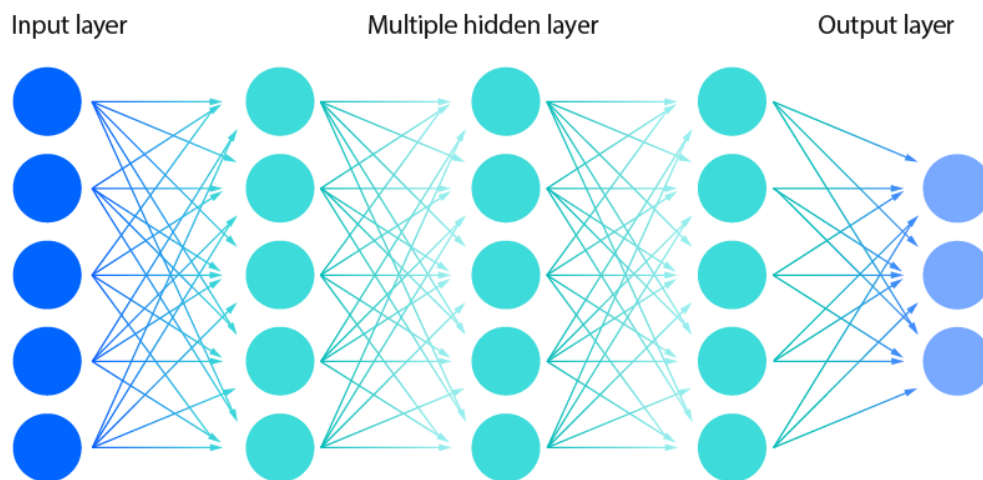
۲-۷- ساختار شبکه عصبی

۱-۷-۲- نرون‌ها:

نرون‌های شبکه‌های عصبی، واحدهای اصلی ساختاری این شبکه‌ها هستند که از آنها برای پردازش اطلاعات استفاده می‌شود. علت نامگذاری اسم آنها این است که این نرون‌ها بر اساس مدل ساختاری مغز انسان طراحی شده‌اند و از عملکرد سلول‌های عصبی بیولوژیکی الهام گرفته‌اند، اما با سطحی از سادگی برای استفاده در محاسبات رایانه‌ای بکار می‌روند.

در شکل زیر ساختار یک شبکه عصبی را می‌بینید:

Deep neural network



شکل ۲-۴ ساختار یک شبکه عصبی

هر نرون عصبی از چند قسمت اصلی تشکیل شده است:

۲-۷-۲- ورودی‌ها:

این بخش نرون برای دریافت اطلاعات ورودی از نرون‌ها یا سایر منابع استفاده می‌شود. این اطلاعات معمولاً به صورت عددی یا برداری است که وزن‌های متناظر با هر ورودی دارد.

۲-۷-۳- وزن‌ها:

وزن‌ها به اهمیت و تأثیر ورودی‌ها بر خروجی نرون اشاره دارند. هر وزن نشان دهنده ارتباطی است که نشان می‌دهد که چقدر ورودی مربوطه باید در تصمیم‌گیری نرون مورد توجه قرار گیرد. این وزن‌ها قبل از آموزش شبکه مقادیر تصادفی دارند و سپس در طی فرآیند آموزش تنظیم می‌شوند تا شبکه به درستی کار کند.

Inputs ^۱
Weights ^۲

۴-۷-۲- تابع فعال سازی:

این تابع به عنوان عاملی که تعیین می کند که آیا نرون باید فعال شود یا خیر، عمل می کند. این تابع معمولاً یک تابع غیرخطی است که ارزش ورودی را تبدیل به مقدار خروجی مورد نظر می کند. به عبارت دیگر، اگر ورودی نرون به ازای یک مقدار خاصی از حدی بالاتر رود، نرون فعال می شود و خروجی غیر صفر تولید می کند.^۱

تابع فعال سازی یکی از عناصر کلیدی در شبکه های عصبی است که وظیفه تبدیل ورودی های نرون به خروجی هایی با ویژگی های خاص دارد. این تابع به عنوان یک فیلتر غیرخطی عمل می کند که ارزش های ورودی را تبدیل به مقادیر خروجی مورد نظر می کند. از این تابع برای اضافه کردن پیچیدگی به مدل استفاده می شود و امکان یادگیری الگوهای پیچیده تر را ایجاد می کند.

حال توضیحی بیشتر در مورد تابع فعال سازی (ReLU) ارائه می دهیم که در این تحقیق از آن استفاده شده:^۲

۱) تابع فعال سازی ReLU:

ReLU یکی از محبوب ترین توابع فعال سازی در شبکه های عصبی عمیق است. ReLU مخفف "Rectified Linear Unit" است و توابع فعال سازی خطی نامیده می شوند که اگر مقدار ورودی به نرون مثبت باشد، خروجی همان مقدار ورودی است؛ اما اگر مقدار ورودی منفی باشد، خروجی صفر است. به طور گسترده ای از این تابع به عنوان تابع فعال سازی در لایه های مختلف شبکه های عصبی استفاده می شود.

۲) ویژگی های تابع ReLU:

سادگی: ReLU یک تابع ساده در مقایسه با توابع فعال سازی غیرخطی دیگر است.

انتقال غیرخطی: با اینکه ReLU خطی در بخش مثبت است، اما در بخش منفی آن غیرخطی است، که به شبکه اجازه می دهد الگوهای پیچیده تری را یاد بگیرد.

جلوگیری از مشکل محو شدن گرادیان: از آنجا که ReLU برای مقادیر مثبت گرادیان یک است، مشکل محو شدن گرادیان در زمان آموزش شبکه را کاهش می دهد و از ایجاد مشکل "مرگ نرون"^۳ جلوگیری می کند.

^۱ Activation Function

^۲ Activation Function

^۳ Dead Neuron

۳) محدودیت‌ها و مسائل مرتبط:

یکی از مشکلات ReLU ممکن است از فرآیندی به نام "مرگ نرون" باشد که به معنای این است که اگر وزن‌ها به گونه‌ای تنظیم شوند که همه ورودی‌ها منفی باشند، نرون دیگر خروجی مثبتی تولید نخواهد کرد و از این جایی که گرادیان منفی برای آموزش استفاده نمی‌شود، به سرعت غیرفعال می‌شود.

یک نسخه از ReLU با نام Leaky ReLU وجود دارد که برای رفع مشکل مرگ نرون ارائه شده است. این تابع فعال‌سازی یک شیب خطی بسیار کوچک به بخش منفی اضافه می‌کند تا این مشکل را حل کند.

با اینکه ReLU در اکثر موارد با موفقیت استفاده می‌شود، اما باید توجه داشت که در برخی موارد ممکن است بهتر باشد از توابع فعال‌سازی دیگری مانند sigmoid یا tanh استفاده کنید، به ویژه در مسائلی که مقادیر خروجی بین -۱ و ۱ یا ۰ و ۱ نیاز دارند.

۵-۷-۲- خروجی:

این بخش نرون مسئول تولید خروجی است. این خروجی ممکن است به عنوان خروجی نهایی شبکه یا به عنوان ورودی به نرون‌های لایه‌های بعدی در معماری چند لایه شبکه عمل کند.

نرون‌ها معمولاً به صورت لایه‌های متعدد در شبکه‌های عصبی عمیق سازماندهی می‌شوند. هر لایه شامل تعدادی نرون است که اطلاعات را از لایه قبلی دریافت کرده و آن را پردازش می‌کنند. این فرآیند ادامه دارد تا خروجی شبکه تولید شود. با استفاده از تعداد زیادی از این نرون‌ها و لایه‌ها، شبکه‌های عصبی عمیق قادر به یادگیری و تفسیر الگوهای پیچیده در داده‌ها هستند و در بسیاری از حوزه‌های کاربردی از جمله تصویربرداری، صوت‌شناسی و پردازش زبان طبیعی کارایی بالایی دارند.

۶-۷-۲- تابع هزینه:

تابع هزینه یا تابع خطا معیاری است که برای ارزیابی عملکرد شبکه‌های عصبی استفاده می‌شود. این تابع میزان اختلاف بین خروجی‌های تولید شده توسط شبکه و مقادیر واقعی مورد انتظار را اندازه‌گیری می‌کند.

Output ^۱

Cost function ^۲

هدف اصلی این است که با کمینه کردن مقدار تابع هزینه، شبکه به تولید خروجی‌هایی که به داده‌های واقعی نزدیک‌تر باشند، هدایت شود. هر تابع هزینه متناسب با نوع مسئله‌ای که داریم و داده‌هایی که با آن کار می‌کنیم، انتخاب می‌شود. انتخاب صحیح تابع هزینه می‌تواند به بهبود کارایی و دقت شبکه کمک زیادی کند. در این پژوهش از تابع هزینه Binary Cross Entropy استفاده کرده ایم. این تابع معیاری برای سنجش عدم تطابق بین دو توزیع احتمال است. این معیار به طور گسترده در یادگیری ماشین، به ویژه در طبقه بندی دودویی، برای ارزیابی عملکرد مدل و به عنوان cost Function در آموزش مدل‌ها استفاده می‌شود.

۷-۷-۲- بهینه سازی^۱:

بهینه‌ساز^۲ در شبکه‌های عصبی مسئول بهبود وزن‌های شبکه و کمینه کردن تابع هزینه است. هدف اصلی بهینه‌ساز، یافتن مقادیر بهینه برای وزن‌ها به نحوی است که تابع هزینه کمینه شود و عملکرد شبکه بهبود یابد. بهینه‌سازها از مفهوم گرادیان نزولی (Gradient Descent) برای به روزرسانی وزن‌ها با توجه به مقدار گرادیان تابع هزینه استفاده می‌کنند. گرادیان نزولی یکی از ساده‌ترین الگوریتم‌های بهینه‌سازی است که بر اساس مفهوم گرادیان تابع هزینه نسبت به وزن‌ها عمل می‌کند و پایه بسیاری از الگوریتم‌های بهینه‌سازی پیچیده تر است. در این الگوریتم، در هر مرحله، مقدار گرادیان تابع هزینه نسبت به وزن‌ها محاسبه شده و وزن‌ها به سمت مخالف جهت گرادیان (جهت کاهش تابع هزینه) به روزرسانی می‌شوند.

هر بهینه‌ساز ممکن است برای مسائل و داده‌های مختلف بهترین عملکرد را داشته باشد. انتخاب صحیح بهینه‌ساز و تنظیم پارامترهای آن می‌تواند به بهبود عملکرد و دقت شبکه عصبی کمک زیادی کند. در این پژوهش از بهینه‌ساز Adam استفاده کردم که پارامترهای آن را برحسب نیاز مسئله تنظیم نمودم. Adam از بهینه‌سازهای مبتنی بر مومنتوم است. این بهینه‌سازها از مفهوم مومنتوم برای افزایش سرعت آموزش و جلوگیری از گیر کردن در نقاط مینیمم محلی استفاده می‌کنند.

۸-۷-۲- بازگشت به عقب:

Backpropagation یا به فارسی "پس‌انتشار"، یک الگوریتم مهم در آموزش شبکه‌های عصبی است که برای به روزرسانی وزن‌های شبکه با استفاده از گرادیان تابع هزینه نسبت به وزن‌ها استفاده می‌شود. این الگوریتم

^۱ Optimization

^۲ Optimizer

به شبکه‌ها کمک می‌کند تا خطا را از طریق لایه‌ها به عقب منتقل کنند و سپس گرادیان‌های ضروری برای به‌روزرسانی وزن‌های هر نورون محاسبه کنند.

مراحل آموزش شبکه که Backpropagation ختم می‌شود به شرح زیر است:

(۱) انتشار جلو^۱:

در این مرحله، ورودی شبکه از طریق لایه‌های مختلف به جلو منتقل می‌شود و خروجی تولید می‌شود. این عملیات شامل محاسبه خروجی‌های هر لایه بر اساس وزن‌ها و توابع فعال‌سازی مربوطه است.

(۲) محاسبه خطا^۲:

در این مرحله، خطای شبکه بر اساس خروجی تولید شده و مقادیر واقعی داده‌ها محاسبه می‌شود. این تفاوت بین خروجی واقعی و پیش‌بینی شده توسط شبکه استفاده می‌شود.

(۳) پس‌انتشار خطا^۳:

این مرحله مهمترین قسمت الگوریتم Backpropagation است. در این مرحله، خطا از لایه خروجی به سمت عقب به لایه‌های قبلی انتقال می‌یابد و گرادیان‌های مربوط به تابع هزینه نسبت به وزن‌ها محاسبه می‌شود.

(۴) به‌روزرسانی وزن‌ها^۴:

در این مرحله، وزن‌های شبکه بر اساس گرادیان‌های محاسبه شده به‌روزرسانی می‌شوند. این به‌روزرسانی معمولاً با استفاده از یک الگوریتم بهینه‌سازی مانند گرادیان نزولی انجام می‌شود.

^۱ Forward Propagation

^۲ Compute Loss

^۳ Backpropagation

^۴ Update Weights

الگوریتم Backpropagation مبتنی بر قانون زنجیره‌ای در محاسبات گرادیان است که امکان محاسبه گرادیان تابع هزینه نسبت به وزن‌ها را فراهم می‌کند. این الگوریتم به شبکه‌های عصبی امکان می‌دهد تا از طریق به‌روزرسانی وزن‌ها به طور تدریجی و با توجه به اطلاعات بهتری که از داده‌ها به دست می‌آورند، بهبود یابند و یاد بگیرند.

۲-۸- پیش پردازش داده‌ها

پیش‌پردازش سیگنال ECG (نوار قلب) یک مرحله اساسی و حیاتی در تحلیل سیگنال‌های قلبی با استفاده از هوش مصنوعی و شبکه‌های عصبی است. پیش‌پردازش سیگنال ECG یک فرآیند کلی است که به منظور بهبود کیفیت و قابلیت تحلیل سیگنال‌های قلبی انجام می‌شود. سیگنال ECG یک سیگنال الکتریکی است که فعالیت‌های الکتریکی قلب را نشان می‌دهد. در حین تحلیل ECG، مسائلی مانند نویز و تغییرات بیولوژیکی در طول زمان می‌توانند تحلیل دقیق سیگنال را مشکل کنند. برای مقابله با این چالش‌ها، انجام پیش‌پردازش می‌تواند اطلاعات مفیدی را از سیگنال استخراج کند.

در ابتدا، سیگنال ECG از لایه‌های پوستی بدن با استفاده از الکترودها گرفته می‌شود. سپس، مراحل پیش‌پردازش شامل چندین مرحله می‌شود:

۱) فیلترهای پایین‌گذر

برای حذف فرکانس‌های بالا و نویزهای مختلف، اعمال می‌شوند. این فیلترها کمک می‌کنند تا سیگنال با فرکانس مناسب برای تحلیل باقی بماند.

۲) تقویت سیگنال

ممکن است نسبت سیگنال به نویز ضعیف باشد، بنابراین از تقویت‌کننده‌ها برای تقویت سیگنال استفاده می‌شود تا اطلاعات قابل تحلیل تر فراهم شود.

۳) حذف نویز

فرآیند حذف نویز با استفاده از تکنیک‌های متنوعی انجام می‌شود، از جمله فیلترهای متوسطه، حذف افتراق قلبی و مهندسی ویژگی‌ها برای حذف نویزهای مختلف.

۴) نرمال‌سازی

اطلاعات سیگنال ECG باید به‌طور متناسب و قابل مقایسه با یکدیگر باشند. نرمال‌سازی باعث می‌شود که واحدهای مختلف سیگنال یکسان باشند و برای آموزش مدل‌های مبتنی بر هوش مصنوعی ایده‌آل باشد.

۵) استخراج ویژگی

در این مرحله اطلاعات مهمی مانند فرکانس‌ها، زمان‌های بروز ویژگی‌هایی مهم و الگوهای خاص از سیگنال استخراج می‌شود. این ویژگی‌ها به عنوان ورودی‌های مهم برای مدل‌های هوش مصنوعی در مراحل مدل سازی و اجرای الگوریتم استفاده می‌شوند.

در این پژوهش، بر روی داده‌ی دیتاست PTB-XL، بسیاری از پیش پردازش‌ها از جمله فیلترهای نویز اعمال شده بود ولی برخی دیگر مانند نرمال سازی لازم بود که در کدنویسی مدل اعمال شده است که توضیحات دقیق آن را در فصول بعد خواهید دید.

فصل ۳- دیتاست پژوهش و بررسی های آماری آن

۳-۱- دیتاست مورد استفاده

مجموعه داده ECG PTB-XL یک مجموعه داده بزرگ از ۲۱۷۹۹ از ۱۲ کلنال ECG بالینی از ۱۸۸۶۹ بیمار با طول سیگنال ۱۰ ثانیه است. داده‌های مجموعه داده ECG PTB-XL با دستگاه‌های شرکت Schiller AG طی حدود هفت سال از اکتبر ۱۹۸۹ تا ژوئن ۱۹۹۶ جمع‌آوری شد. با خرید پایگاه داده اصلی از شرکت Schiller AG، کلیه حقوق استفاده به PTB انتقال یافت. این پایگاه داده در تعدادی از مقالات استفاده شد، اما دسترسی تا زمان انتشار عمومی در سال ۲۰۱۹ محدود باقی ماند. برای دسترسی به فایل‌های این دیتاست از آدرس زیر می‌توانید استفاده کنید:

<https://physionet.org/content/ptb-xl/۱.۰.۳>

ECGها و بیماران با شناسه‌های منحصر به فرد (ecg_id و patient_id) شناسایی می‌شوند. اطلاعات شخصی در جدول فراداده‌ها، مانند نام‌های کاردیولوژیست‌های اعتبارسنج، پرستاران و محل ضبط (بیمارستان و غیره) ضبط شده‌اند. لیبل‌های ECG استفاده شده برای برچسب‌گذاری رکوردها به استاندارد SCP-ECG پیروی می‌کنند.

ساختار داده در پوشه‌ها به شکل زیر است:

```
ptb-xl
├── ptbx1_database.csv
├── scp_statements.csv
├── records100
│   ├── 00000
│   │   ├── 00001_lr.dat
│   │   ├── 00001_lr.he
│   │   ├── ...
│   │   ├── 00999_lr.dat
│   │   └── 00999_lr.he
│   ├── ...
│   └── 21000
│       ├── 21001_lr.dat
│       ├── 21001_lr.he
│       ├── ...
│       ├── 21837_lr.dat
│       └── 21837_lr.he
├── records500
│   ├── 00000
│   │   ├── 00001_hr.dat
│   │   ├── 00001_hr.he
│   │   ├── ...
│   │   ├── 00999_hr.dat
│   │   └── 00999_hr.he
│   ├── ...
│   └── 21000
```

```

├── 21001_hr.dat
├── 21001_hr.he
├── ...
├── 21837_hr.dat
├── 21837_hr.he

```

این مجموعه داده شامل ۲۱۷۹۹ سابقه ECG بالینی با ۱۲-کانال با طول ۱۰ ثانیه است، که ۵۲٪ مرد و ۴۸٪ زن هستند و سن آنها کل محدوده از ۰ تا ۹۵ سال (میانگین ۶۲) را پوشش می‌دهد. ارزش این مجموعه داده از مجموعه جامع بسیاری از پاتولوژی‌های مختلف هم‌زمان است، اما همچنین از نمونه‌های سالم نیز به نسبت بزرگی برخوردار است. در جدول زیر می‌توانید نام ۵ کلاس تخصیص یافته سیگنال‌ها را مشاهده کنید که بعد از آن توضیحات هر کدام آمده است:

جدول ۱-۳ کلاس بندی لیبل های داده

#Records	Superclass	Description
۹۵۱۴	NORM	Normal ECG
۵۴۶۹	MI	Myocardial Infarction
۵۲۳۵	STTC	ST/T Change
۴۸۹۸	CD	Conduction Disturbance
۲۶۴۹	HYP	Hypertrophy

فایل‌های سیگنال نوار قلب به فرمت پایگاه داده (WFDB) که فرمت استاندارد ذخیره داده ECG است، با دقت ۱۶ بیت با وضوح ۱ میکروولت و فرکانس نمونه‌برداری ۵۰۰ Hz در پوشه records۵۰۰ ذخیره می‌شوند. برای راحتی کاربران، همچنین نسخه‌های کاهش‌یافته از داده‌های موج‌شکل با فرکانس نمونه‌برداری ۱۰۰ Hz در پوشه records۱۰۰ منتشر شده است.

جدول فراداده‌ها که شامل اطلاعات جدولی سابیکت‌ها مانند سن، جنسیت، قد و وزن آنها است در ptbxi_database.csv ذخیره شده که یک ستون برای هر رکورد با ecg_id شناسه بخصوص هر سابیکت را مشخص می‌کند. همچنین دو ردیف از این جدول با نام‌های filename_hr و filename_lr حاوی نام فایل‌های هر سیگنال هستند و ستون scp_codes لیبل بیماری هر سابیکت را مشخص می‌کند. جلوتر در بخش مدل سازی از داده‌ی این جدول با نام داده جدولی نام می‌بریم.

۳-۲- توضیح کلاس بندی لیل های دیتاست

۳-۲-۱ ECG نرمال^۱:

یک ECG نرمال فعالیت الکتریکی قلب را نشان می‌دهد هنگامی که قلب در محدوده‌های سلامتی فعالیت می‌کند. ویژگی‌های این سیگنال در بخش‌ها قبل توضیح داده شده است.

۳-۲-۲ سگمته قلبی^۲: [۲۲]

جریان خون به یک بخش از عضله قلب به مدت طولانی مسدود می‌شود و باعث آسیب یا مرگ آن قسمت از قلب می‌شود که به عنوان حمله قلبی معروف است. در یک ECG، نشانه‌های حمله قلبی عبارتند از:

افزایش ST-سگمنت: ST سگمنت‌های بلند نشانه آسیب حاد به عضله قلب هستند، که به طور معمول از یک حمله قلبی است.

موج Q غیرطبیعی: این نوع موج به عنوان Q نامطلوب، طولانی تر و بلند تر از حالت عادی ظاهر می‌شوند و نشان دهنده منطقه بافت مرده است.

۳-۲-۳ تغییرات ST/T^۳: [۲۲]

تغییرات ST-T در یک ECG می‌توانند نشان دهنده نقص‌های قلبی مختلف باشند، از جمله ایسکمی قلبی و آسیب بازسازی^۴. این تغییرات ممکن است شامل موارد زیر باشد:

افزایش ST-سگمنت: این به نشانه آسیب حاد عضله قلبی است، احتمالاً ناشی از حمله قلبی.

کاهش ST-سگمنت: اغلب نشانه ایسکمی قلبی است، جایی که جریان خون به عضله قلب کاهش یافته است.

برعکس شدن موج T: ممکن است نشانه ایسکمی قلبی باشد، اما همچنین می‌تواند در آسیب عضله قلبی یا نقص‌های بازسازی دیده شود.

^۱ Normal ECG

^۲ Myocardial Infarction

^۳ ST/T Change

^۴ Cardiac regeneration defects

۴-۲-۳- اختلال هادی^۱: [۲۲]

اختلالات هادی در قلب می‌تواند توالی و زمان‌بندی نرمال انتقال سیگنال‌های الکتریکی را تحت تأثیر قرار دهد و منجر به یافته‌های ECG غیرطبیعی شود. برخی از اختلالات هادی شایع شامل موارد زیر هستند:

مسدودیت شاخه باندل: تأخیر یا مسدود شدن در انتقال سیگنال‌ها از طریق شاخه‌های چپ یا راست.

مسدودیت هادی دهلیزی-بطنی: اختلال در انتقال بین دهلیزها و بطن‌ها.

سندرم وولف-پارکینسون-وایت: یک مسیر الکتریکی اضافی بین دهلیزها و بطن‌ها که منجر به موج دلتا مشخص در ECG می‌شود.

۵-۲-۳- هیپرتروفی^۲: [۲۲]

هیپرتروفی قلبی به بزرگ شدن عضله قلب اشاره دارد، اغلب در پاسخ به فشار کاری افزایش یافته رخ می‌دهد. در یک ECG، نشانه‌های هیپرتروفی شامل موارد زیر هستند:

ولتاژ افزایش یافته: بالاتر از طبیعی بودن اندازه کمپلکس QRS، نشان دهنده ضخامت بیشتر عضله قلب است.

هیپرتروفی بطن چپ (LVH): اغلب به عنوان افزایش ولتاژ در لیدهای سمت چپ (I، aVL، ۵V، ۶V) مشخص می‌شود.

هیپرتروفی بطن راست (RVH): با Rهای بلند در لیدهای سمت راست (V۱، V۲) مشخص می‌شود.

۳-۳- پیاده سازی اولیه و بررسی های آماری

برای مشاهده و دسترسی به کد پایتون پیاده سازی و سایر داکيومنت ها ميتوانيد به گيت هاب من به آدرس https://github.com/sajjadrezvani/ECG_Ai مراجعه فرماييد. همانطور که اشاره شد برای پیاده سازی این مسئله از کتابخانه Keras در پایتون استفاده شده است.

حال در این بخش به توضیح بعضی از قسمت های مهم کد و نکات عملی می‌پردازیم تا در قسمت بعد وارد اصل جزئیات مدل ها شویم. دقت کنید که در این قسمت هدف مدل سازی و طراحی مدل شبکه عصبی

^۱ Conduction Disturbance

^۲ Hypertrophy

نیست. بلکه با رسم داده ها و بررسی های آماری آن دیدی بهتر از داده بدست می آوریم که در بخش بعد از آن استفاده می کنیم.

ابتدا برای اجرای صحیح کد باید تمام کتابخانه های ذیل را نصب داشته باشید:

```
import tensorflow as tf
from matplotlib import pyplot as plt
import seaborn as sns
import pandas as pd
import numpy as np
import wfdb # WaveForm DataBase software package,| provides tools for working with biomedical time-series data.
import os
import ast
from ecgdetectors import Detectors
import numpy as np
import matplotlib.pyplot as plt
import pywt # Import the PyWavelets Library
from sklearn.model_selection import train_test_split
from tensorflow.keras.layers import Conv2D, MaxPooling2D, Flatten, Dense, LSTM, Dropout, BatchNormalization
from tensorflow.keras.models import Sequential
from tensorflow.keras import regularizers
from tensorflow.keras import optimizers
from sklearn.preprocessing import StandardScaler
import joblib
```

سپس در اینجا مسیر پوشه اصلی را مشخص و دیتاست ptbxi_database.csv را که حاوی داده های جدولی است می خوانیم. توجه کنید که ستون های مورد نیاز خود را ورودی دادن به شبکه عصبی اینجا تعیین می کنیم. سپس طول داده که تعداد سابیجت هاست را خروجی که می گیریم که عدد ۲۱۷۹۹ نمایش داده می شود. در آخر برای افزایش سرعت مدل و محدودیت های رم سیستم ۵۰۰۰ داده را جدا می کنیم تا به در ادامه از آن استفاده کنیم:

```
root_path = './ptb-xl-dataset-1.0.3/'
ecg_data = pd.read_csv('./ptb-xl-dataset-1.0.3/ptbxi_database.csv' \
    , usecols= ['sex', 'height', 'weight', 'strat_fold', 'scp_codes', 'infarction_stadium1' \
    , 'infarction_stadium2', 'heart_axis', 'pacemaker', 'filename_lr', 'filename_hr'])
print( len(ecg_data) )
# ecg_data = ecg_data.sort_values(by='strat_fold')
ecg_data = ecg_data[:5000]
```

نمایی از چند سطر اول داده ی جدولی دیتاست ecg_data را در اینجا می بینید:

جدول ۳-۲ نمایی از چند سطر اول دیتاست *ecg_data*

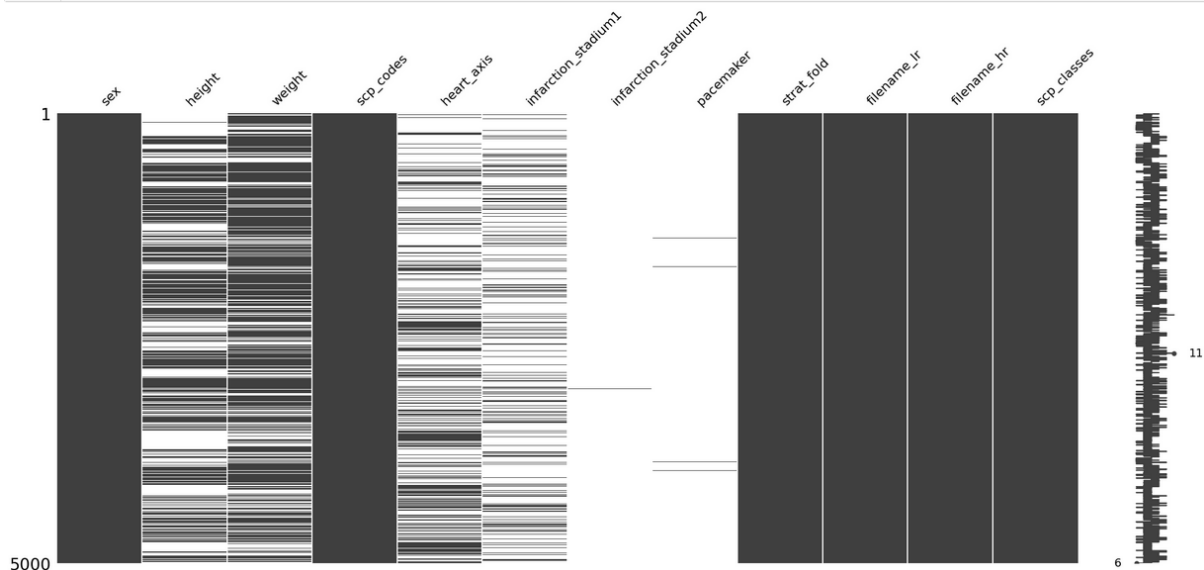
	sex	height	weight	scp_codes	heart_axis	infarction_stadium1	infarction_stadium2	pacemaker	strat_fold	filename_lr	filename_hr
0	1	NaN	63.0	{'NORM': 100.0, 'LVOLT': 0.0, 'SR': 0.0}	NaN	NaN	NaN	NaN	3	records100/00000/00001_lr	records500/00000/00001_hr
1	0	NaN	70.0	{'NORM': 80.0, 'SERAD': 0.0}	NaN	NaN	NaN	NaN	2	records100/00000/00002_lr	records500/00000/00002_hr
2	1	NaN	69.0	{'NORM': 100.0, 'SR': 0.0}	NaN	NaN	NaN	NaN	5	records100/00000/00003_lr	records500/00000/00003_hr
3	0	NaN	82.0	{'NORM': 100.0, 'SR': 0.0}	NaN	NaN	NaN	NaN	3	records100/00000/00004_lr	records500/00000/00004_hr
4	1	NaN	70.0	{'NORM': 100.0, 'SR': 0.0}	NaN	NaN	NaN	NaN	4	records100/00000/00005_lr	records500/00000/00005_hr
...

حال با این دو خط زیر ابتدا دیتاست لیبل هاست را می‌خوانیم و سپس با توجه به ستون نام فایل های سیگنال که از دیتاست اولیه به دست آوردیم با استفاده از فانکشن `wfdb.rdsamp` فایل ها سیگنال های ECG را می‌خوانیم و در `ecg_signal` می‌ریزیم:

```
scp_data = pd.read_csv(root_path + 'scp_statements.csv', index_col= 0), usecols= ['diagnostic','diagnostic_class'] )
ecg_signal = np.array([wfdb.rdsamp(os.path.join(root_path, file))[0] for file in ecg_data.filename_lr])
```

با استفاده از `Msno` می‌توانیم به زیبایی نمودار وجود یا عدم وجود داده‌ی جدولی خود به دست آوریم:

```
1 import missingno as msno
2 msno.matrix(ecg_data)
3 plt.show()
```



شکل ۳-۵ شکل وجود یا عدم وجود داده‌ی جدولی

حال با استفاده از کد زیر برای مشاهده کلی سیگنال نوار قلبی سابجکت اول را با ۱۲ کانال آن رسم می‌کنیم:

```

# Generate a time array (assuming a sampling rate of 1 Hz for simplicity)
time = np.arange(0, len(sample), 1)

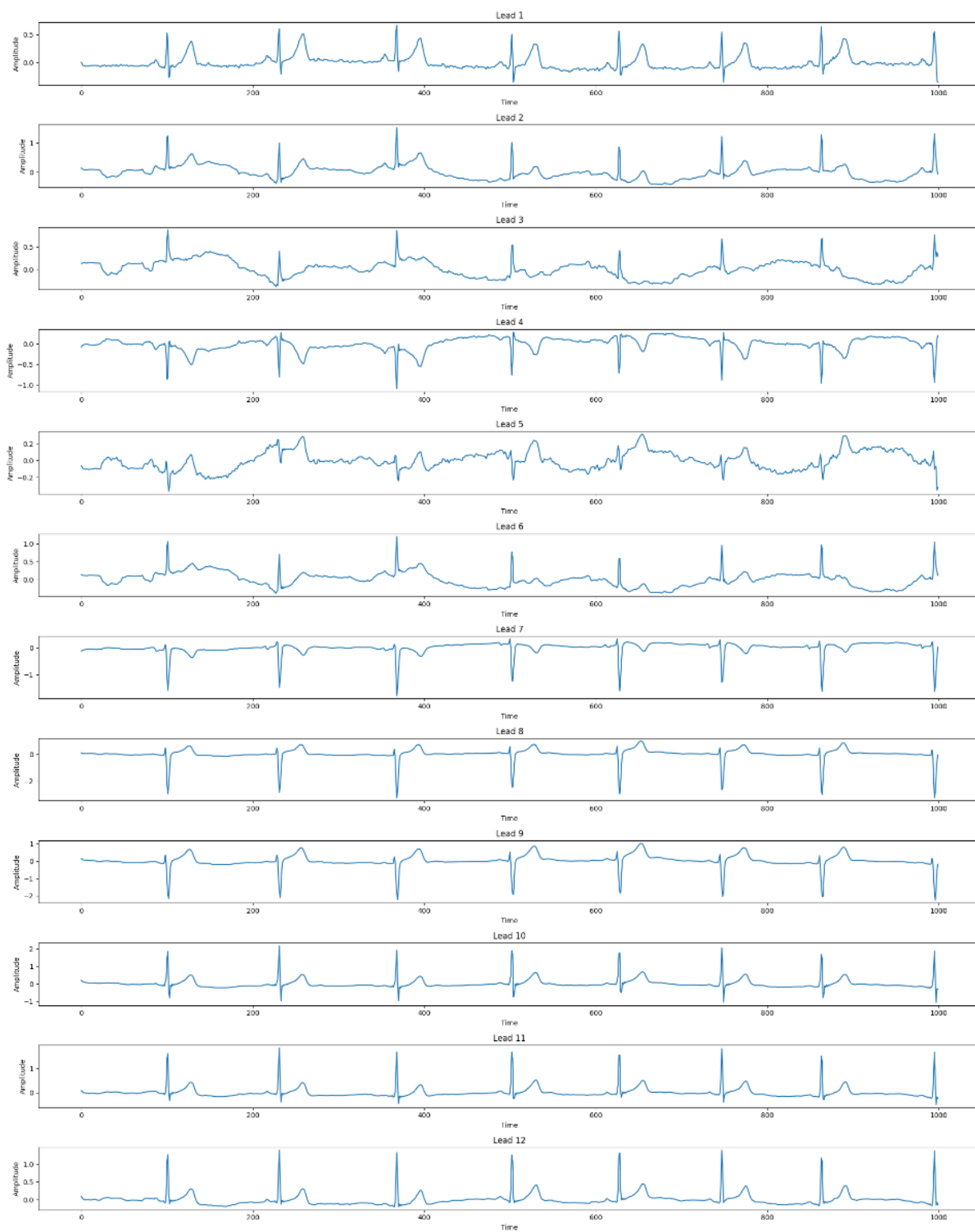
# Plot each lead in a single column
plt.figure(figsize=(20, 25))

for lead in range(12):
    plt.subplot(12, 1, lead + 1)
    plt.plot(time, sample[:, lead])
    plt.title(f'Lead {lead + 1}')
    plt.xlabel('Time')
    plt.ylabel('Amplitude')

plt.tight_layout()
plt.show()

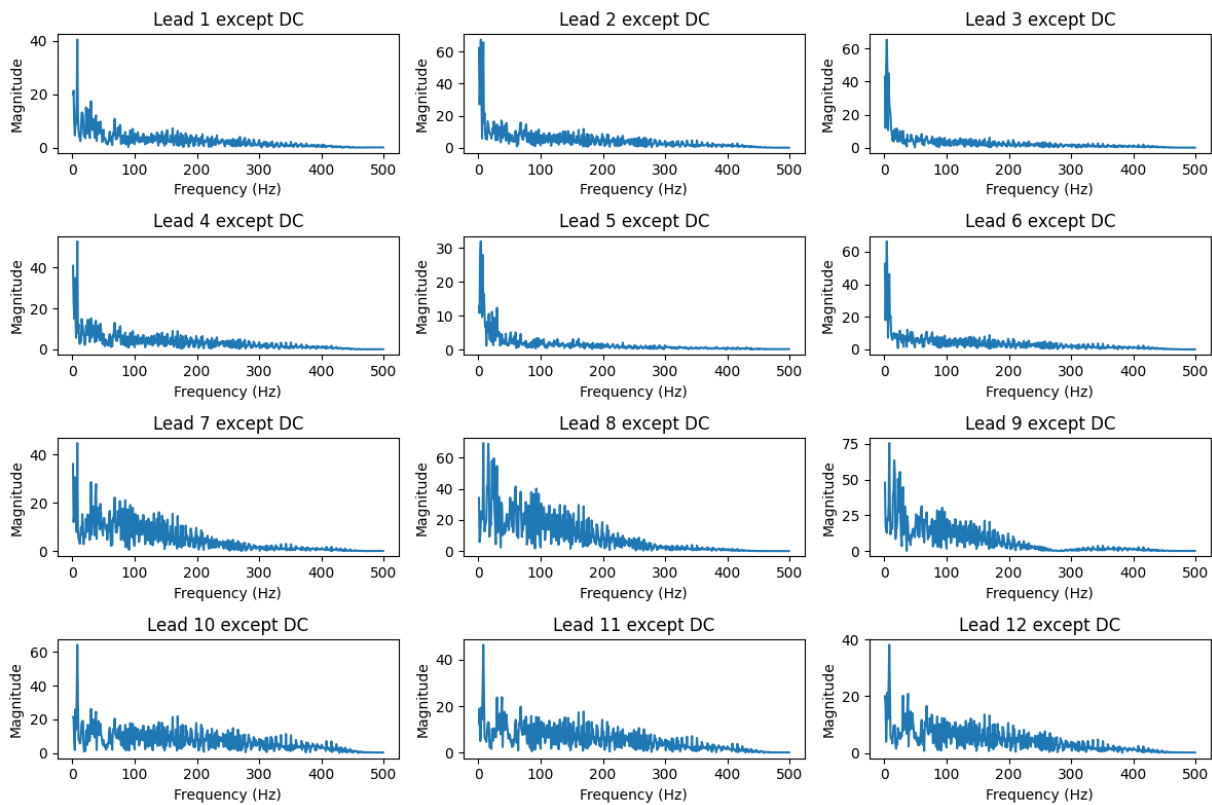
```

همانطور که می‌بینید پیک های pqrst که در قسمت تعاریف و مفاهیم سیگنال های قلب نشان و توضیح داده شدند در اینجا قابل مشاهده هستند:



شکل ۳-۶ سیگنال نوار قلبی ساجکت اول را با ۱۲ کانال آن

همچنین برای کسب اطلاعات بیشتر از سیگنال، تبدیل فوریه ۱۲ کانال ساجکت اول را نیز رسم کردیم:



شکل ۷-۳ تبدیل فوریه ۱۲ کانال سایجکت اول
 سپس ۵ فرکانس غالب هر ۱۲ کانال را که بیشترین مقدار را دارند بدست آوردیم:

Top frequencies in Lead ۱: [۸. ۲. ۱. ۳۰. ۷.] Hz

Top frequencies in Lead ۲: [۴. ۸. ۱. ۳. ۷.] Hz

Top frequencies in Lead ۳: [۴. ۳. ۷. ۵. ۱.] Hz

Top frequencies in Lead ۴: [۸. ۱. ۴. ۲. ۷.] Hz

Top frequencies in Lead ۵: [۴. ۳. ۷. ۵. ۹.] Hz

Top frequencies in Lead ۶: [۴. ۱. ۸. ۳. ۵.] Hz

Top frequencies in Lead ۷: [۸. ۱. ۴. ۳۰. ۳۸.] Hz

Top frequencies in Lead ۸: [۸. ۱۶. ۲۵. ۲۲. ۱۷.] Hz

Top frequencies in Lead ۹: [۸. ۱۶. ۲۵. ۱۷. ۲۲.] Hz

Top frequencies in Lead ۱۰: [۸. ۷. ۹. ۳۰. ۵.] Hz

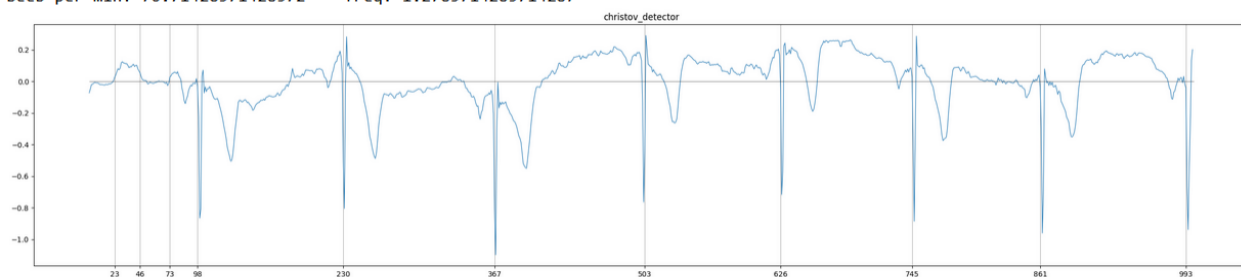
Top frequencies in Lead ۱۱: [۸. ۷. ۹. ۳۸. ۳۰.] Hz

Top frequencies in Lead ۱۲: [۸. ۷. ۹. ۵. ۳۸.] Hz

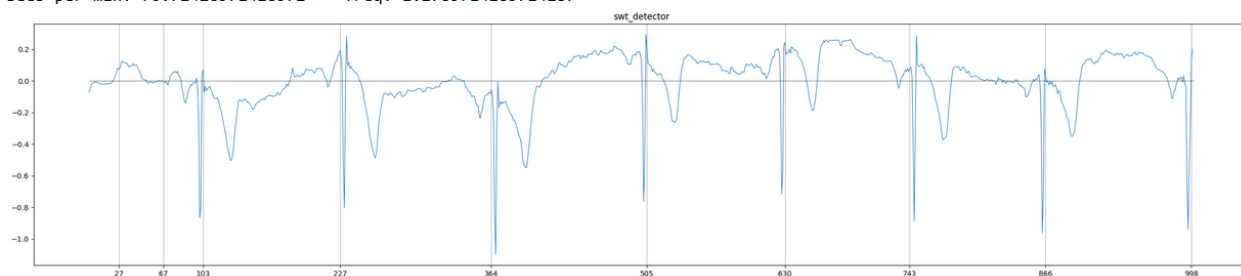
جالب است که بعضی فرکانس ها مانند ۸ هرتز و ۴ هرتز در بسیاری از کانال ها جزو فرکانس های اصلی سیگنال هستند.

سپس با استفاده از ecgdetectors با استفاده از دو الگوریتم christov_detector و swt_detector که با آزمون و خطا متوجه بهترین عملکرد از آن ها شدیم پیک های سیگنال را بدست می آوریم:

```
Rpeaks: [ 23 46 73 98 230 367 503 626 745 861 993]
RR_intervals: [132, 137, 136, 123, 119, 116, 132] ave: 127.85714285714286
Beeb per min: 76.71428571428572 freq: 1.2785714285714287
```



```
Rpeaks: [ 27 67 103 227 364 505 630 743 866 998]
RR_intervals: [124, 137, 141, 125, 113, 123, 132] ave: 127.85714285714286
Beeb per min: 76.71428571428572 freq: 1.2785714285714287
```



شکل ۸-۳ پیک های R سیگنال

که این مقدار ۱.۲۷ فرکانس قلب این سابجکت را نشان می دهد که بعدا در تایین batch size می تواند مورد استفاده قرار گیرد.

جدول ۳۲- فرمت *one hot* انکد لیبل ها

	NORM	MI	STTC	CD	HYP
0	1	0	0	0	0
1	1	0	0	0	0
2	1	0	0	0	0
3	1	0	0	0	0
4	1	0	0	0	0
...
4995	1	0	0	0	0
4996	0	0	0	1	0
4997	0	1	1	0	0
4998	0	0	1	0	1
4999	1	0	0	0	0

5000 rows × 5 columns

یکی از نکاتی که همواره در پیاده سازی مدل ها باید در نظر گرفت، بالانس بودن داده در کلاس های مختلف است. این به این معناست که اوردر تعداد سمپل ها در کلاس های مختلف داده باهم متفاوت نباشد و اختلاف فاحش نداشته باشند.

Is Balanced?

```

1 class_counts = np.sum(Z_train, axis=0)
2
3 # Print the count of data in each class
4 for i, count in enumerate(class_counts):
5     print(f"Class {i+1}: {count} data points")

```

Class 1: 4665 data points
 Class 2: 2252 data points
 Class 3: 2399 data points
 Class 4: 2221 data points
 Class 5: 1185 data points

مثلا همانطور که در بالا مشاهده می کنید برای بدست آمدن مدل نهایی مان به این نکته توجه کردیم و کلاس ها حدودا بالانس هستند.

یکی از مراحل مهم همه الگوریتم های ماشین لرنینگ تبدیل داده های توصیفی به عددی است. در کد زیر این کار را به وسیله تابع replace انجام می دهیم:

```
metaDatas['infarction_stadium1'] = ecg_data['infarction_stadium1'].replace({
    'unknown': 0,
    'Stadium I': 1,
    'Stadium I-II': 2,
    'Stadium II': 3,
    'Stadium II-III': 4,
    'Stadium III': 5
}).fillna(0)

metaDatas['infarction_stadium2'] = ecg_data['infarction_stadium2'].replace({
    'unknown': 0,
    'Stadium I': 1,
    'Stadium II': 2,
    'Stadium III': 3
}).fillna(0)

# 0 represents unknown
metaDatas['heart_axis'] = ecg_data.heart_axis.replace({
    'LAD': 1,
    'ALAD': 2,
    'RAD': 3,
    'AXR': 4,
    'MID': 5,
    'ARAD': 6,
    'AXL': 7,
    'SAG': 8
}).fillna(0)
metaDatas['pacemaker'] = (ecg_data.pacemaker == 'ja, pacemaker').astype(float)
```

سپس قبل از ورود به مرحله مدل سازی، بوسیله کد بالا داده را نرمال میکنیم که این کار را در این کد بوسیله standardScaler انجام می دهیم:

```
1 # Scaling X
2 X_scaler = StandardScaler()
3 X_scaler.fit(X_train)
4 X_train_scaled = pd.DataFrame(X_scaler.transform(X_train), columns=X_train.columns, index=X_train.index)
5 X_val_scaled = pd.DataFrame(X_scaler.transform(X_val), columns=X_val.columns, index=X_val.index)
6 X_test_scaled = pd.DataFrame(X_scaler.transform(X_test), columns=X_test.columns, index=X_test.index)
7
8 # Scaling Y
9 Y_scaler = StandardScaler()
10 Y_scaler.fit(Y_train.reshape(-1, Y_train.shape[-1]))
11 Y_train_scaled = Y_scaler.transform(Y_train.reshape(-1, Y_train.shape[-1])).reshape(Y_train.shape)
12 Y_val_scaled = Y_scaler.transform(Y_val.reshape(-1, Y_val.shape[-1])).reshape(Y_val.shape)
13 Y_test_scaled = Y_scaler.transform(Y_test.reshape(-1, Y_test.shape[-1])).reshape(Y_test.shape)
```

بعد از این داده ی ورودی را به داده آموزش، ارزیابی و تست تقسیم می کنیم که ابعاد داده قبل از ورود به مدل ها را مشاهده میکنید:

```
X_train: (3769, 7) Y_train: (3769, 1000, 12) Z_train: (3769, 5)
X_val: (608, 7) Y_val: (608, 1000, 12) Z_val: (608, 5)
X_test: (623, 7) Y_test: (623, 1000, 12) Z_test: (623, 5)
```

در آخر، پیش از ورود به مرحله‌ی مدل سازی خوب است که داده‌ی پراسس شده را ذخیره کرده تا هر بار نیاز نباشد که دوباره این عملیات های ذکر شده را رو داده‌ی ورودی اعمال کنیم. این کار را بوسیله `joblib.dump` انجام می‌دهیم و توسط کد زیر داده را پس از ذخیره بلافاصله لود می‌کنیم:

```
joblib.dump(X_train_scaled, root_path + 'X_train_scaled.joblib')
joblib.dump(Y_train_scaled, root_path + 'Y_train_scaled.joblib')
joblib.dump(Z_train, root_path + 'Z_train.joblib')
joblib.dump(X_test_scaled, root_path + 'X_test_scaled.joblib')
joblib.dump(Y_test_scaled, root_path + 'Y_test_scaled.joblib')
joblib.dump(Z_test, root_path + 'Z_test.joblib')
joblib.dump(X_val_scaled, root_path + 'X_val_scaled.joblib')
joblib.dump(Y_val_scaled, root_path + 'Y_val_scaled.joblib')
joblib.dump(Z_val, root_path + 'Z_val.joblib')

X_train_scaled = joblib.load(root_path + 'X_train_scaled.joblib')
Y_train_scaled = joblib.load(root_path + 'Y_train_scaled.joblib')
Z_train = joblib.load(root_path + 'Z_train.joblib')
X_val_scaled = joblib.load(root_path + 'X_val_scaled.joblib')
Y_val_scaled = joblib.load(root_path + 'Y_val_scaled.joblib')
Z_val = joblib.load(root_path + 'Z_val.joblib')
X_test_scaled = joblib.load(root_path + 'X_test_scaled.joblib')
Y_test_scaled = joblib.load(root_path + 'Y_test_scaled.joblib')
Z_test = joblib.load(root_path + 'Z_test.joblib')
```

فصل ۴- پیاده سازی مدل و بررسی نتایج

۴-۱- پیاده سازی شبکه های عمیق در پایتون

زبان های برنامه نویسی و کتابخانه های پیاده سازی شبکه های عصبی عمیق یکی از مهم ترین ابزارهایی هستند که برای توسعه و آموزش مدل های عمیق مورد استفاده قرار می گیرند. هر یک از این زبان ها و کتابخانه ها ویژگی ها و مزایای منحصر به فردی دارند که بسته به نیازها و ترجیحات پروژه، ممکن است انتخاب مناسبی برای پروژه باشند. این ابزارها همچنین معمولاً از اجتماع های فعال کاربران و منابع آموزشی بسیاری برخوردارند که می توانند در فرآیند یادگیری و استفاده از آنها به شما کمک کنند. در کنار این زبان ها و کتابخانه ها، تعداد زیادی از ابزارها و فریمورک های دیگر نیز برای پیاده سازی شبکه های عصبی عمیق مورد استفاده قرار می گیرند که هر کدام مزایا و محدودیت های خاص خود را دارند. انتخاب زبان و کتابخانه مناسب برای پروژه خاص خود وابسته به نیازها و ترجیحات شماست.

زبان برنامه نویسی Python یکی از محبوب ترین زبان های برنامه نویسی برای توسعه شبکه های عصبی عمیق است. این زبان به دلیل سادگی و قابلیت های بسیاری که ارائه می دهد، انتخاب اول بسیاری از پژوهشگران و توسعه دهندگان است.

کتابخانه TensorFlow یکی از پرکاربردترین کتابخانه های پیاده سازی شبکه های عصبی عمیق است که توسط Google توسعه داده شده است. این کتابخانه امکانات فراوانی برای طراحی، آموزش و ارزیابی مدل های عمیق ارائه می دهد. در زیر مجموعه آن، کتابخانه Keras یکی از کتابخانه های محبوب و ساده برای توسعه شبکه های عصبی عمیق در Python است. از طرف دیگر کتابخانه PyTorch یکی دیگر از محبوب ترین کتابخانه های برنامه نویسی برای شبکه های عصبی عمیق است. این کتابخانه توسط Facebook توسعه داده شده است و از طراحی ساده و ماژولار برای توسعه مدل های پیچیده پشتیبانی می کند. در این پروژه من از کتابخانه Keras برای پیاده سازی شبکه عصبی استفاده کرده ام.

۴-۲- مدل LSTM چیست؟

شبکه های LSTM^۱ یک نوع ویژه از شبکه های عصبی بازگشتی^۲ هستند که برای پردازش داده های دنباله ای مانند متون، صداها و سایر داده های زمانی استفاده می شوند. طراحی LSTM برای مدیریت مشکل گسسته

^۱ Long Short-Term Memory

^۲ RNNs

شدن گرادیان در زمان آموزش شبکه‌های عصبی بازگشتی است که باعث می‌شود آنها نتوانند اطلاعات بلند مدت را در حین زمان مورد نظر نگه دارند.

معمولاً، یک شبکه LSTM شامل تعدادی واحد LSTM است که هر کدام دارای سه دروازه^۱ اصلی هستند: دروازه فراموشی^۲، دروازه ورودی^۳ و دروازه خروجی^۴. این دروازه‌ها به شبکه اجازه می‌دهند تا اطلاعاتی را که در زمان گذشته به آن‌ها رسیده، فراموش کند، اطلاعات جدید را به داخل سلول حافظه وارد کند و اطلاعات مناسب را از سلول حافظه برای خروجی انتخاب کند.

این دروازه‌ها بر اساس ورودی فعلی شبکه و وضعیت قبلی خود، تصمیم می‌گیرند که چه اطلاعاتی را نگه دارند، فراموش کنند یا به حافظه اضافه کنند. با استفاده از این دروازه‌ها، LSTM می‌تواند اطلاعات مربوط به زمان‌های گذشته را بیشتر نگه دارد و از آنها در تصمیم‌گیری‌های آینده استفاده کند، که این ویژگی باعث می‌شود که به خوبی برای وظایف پیش‌بینی دنباله‌های زمانی مانند ترجمه ماشینی، تشخیص گفتار، تحلیل متن و غیره مناسب باشند.

۴-۳- مدل CNN چیست؟

شبکه‌های عصبی CNNs ابزارهای قدرتمندی هستند که برای پردازش تصاویر و شناسایی الگوها در داده‌های بصری استفاده می‌شوند. این مدل‌ها از تکنیک‌های متعددی تشکیل شده‌اند که به آنها کمک می‌کند الگوهای سطح بالا را از داده‌های ورودی استخراج کنند که انواع آنرا توضیح می‌دهیم:

لایه کانولوشنی^۵: این لایه مسئول اعمال فیلترهای کانولوشنی بر روی تصویر است. این فیلترها به صورت معمول الگوهای کوچک، مانند لبه‌ها یا گوشه‌ها را شناسایی می‌کنند و ویژگی‌های مهم را از تصویر استخراج می‌کنند.

لایه ادغام^۶: این لایه‌ها برای کاهش ابعاد فضایی تصویر استفاده می‌شوند. با اعمال تکنیک‌هایی مانند حذف اطلاعات غیرضروری و تقریبی، ابعاد تصویر کاهش می‌یابد و پردازش سریع‌تر و کارآمدتر می‌شود.

Gate^۱

Forget Gate^۲

Input Gate^۳

Output Gate^۴

Convolutional Layer^۵

Pooling Layer^۶

لایه کاملاً متصل^۱: پس از لایه‌های کانولوشنی و ادغام، اطلاعات استخراج شده به لایه‌های کاملاً متصل منتقل می‌شوند. در این لایه‌ها، اطلاعات استخراج شده از تصویر به فضای ویژگی‌های نهایی که به طور مثال در مسئله‌ی ما ۵ کلاس بیماری قلبی است، تبدیل می‌شوند و برای تصمیم‌گیری نهایی استفاده می‌شوند.

در کل CNN‌ها توانایی زیادی برای تشخیص الگوها و ویژگی‌های پیچیده در تصاویر دارند و به دلیل توانایی‌های عمیق، در بسیاری از وظایف پردازش تصویر از جمله تشخیص اشیاء، تشخیص چهره، تصحیح تصاویر و حتی در حوزه‌ی پزشکی برای تشخیص بیماری‌ها از طریق سیگنال‌ها و تصاویر پزشکی موفق بوده‌اند.

۴-۴- پیاده سازی معماری های بر پایه LSTM:

۴-۴-۱- معماری پایه LSTM:

ساده ترین معماری که با استفاده از شبکه های LSTM می‌توان برای این تسک متصور شد به شکل زیر است:

Layer (type)	Output Shape	Param #
lstm_5 (LSTM)	(None, 64)	19712
dense_8 (Dense)	(None, 5)	325
Total params: 20037 (78.27 KB)		
Trainable params: 20037 (78.27 KB)		
Non-trainable params: 0 (0.00 Byte)		

شکل ۴-۱ ساختار معماری شبکه پایه LSTM

^۱ Fully Connected Layer

ولی همانطور که مشاهده می‌کنید این مدل اصلاً قابلیت یادگیری ویژگی‌ها را ندارد و از دقت بسیار پایینی برخوردار است:

```
Epoch 20/50
54/54 [=====] - 34s 631ms/step - loss: 1.9021 - accuracy: 0.4990 - val_loss: 2.0159 - val_accuracy: 0.4422
Epoch 21/50
54/54 [=====] - 34s 632ms/step - loss: 1.9024 - accuracy: 0.4993 - val_loss: 1.9980 - val_accuracy: 0.4422
Epoch 22/50
54/54 [=====] - 35s 646ms/step - loss: 1.9035 - accuracy: 0.4991 - val_loss: 1.9924 - val_accuracy: 0.4422
Epoch 23/50
54/54 [=====] - 39s 726ms/step - loss: 1.9020 - accuracy: 0.4991 - val_loss: 2.0084 - val_accuracy: 0.4422
Epoch 24/50
54/54 [=====] - 41s 766ms/step - loss: 1.9010 - accuracy: 0.4991 - val_loss: 2.0113 - val_accuracy: 0.4422
Epoch 25/50
54/54 [=====] - 37s 687ms/step - loss: 1.9011 - accuracy: 0.4990 - val_loss: 2.0090 - val_accuracy: 0.4422
Epoch 26/50
54/54 [=====] - 35s 647ms/step - loss: 1.9034 - accuracy: 0.4990 - val_loss: 2.0021 - val_accuracy: 0.4416
Epoch 27/50
54/54 [=====] - 39s 712ms/step - loss: 1.9017 - accuracy: 0.4991 - val_loss: 1.9909 - val_accuracy: 0.4416
Epoch 28/50
54/54 [=====] - 35s 656ms/step - loss: 1.9014 - accuracy: 0.4991 - val_loss: 2.0090 - val_accuracy: 0.4422
```

پس معماری مدل را پیچیده‌تر می‌کنیم.

۴-۴-۲- افزایش پیچیدگی شبکه LSTM:

بعد از افزایش پیچیدگی مدل مشاهده می‌کنیم که مدل دچار اورفیت می‌شود. پس باید Regularizaion مدل را افزایش دهیم. این کار را با اضافه کردن لایه dropout و batch normalization انجام می‌دهیم و به مدل زیر میرسیم:

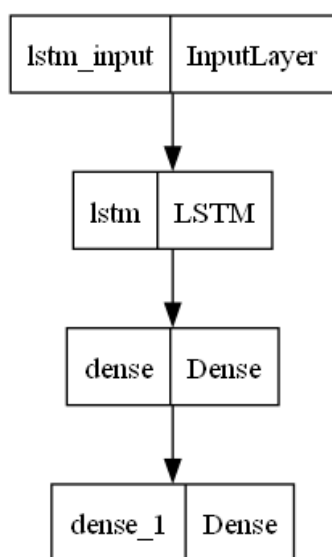
Layer (type)	Output Shape	Param #
lstm_2 (LSTM)	(None, 64)	19712
dropout_4 (Dropout)	(None, 64)	0
batch_normalization_4 (Batch Normalization)	(None, 64)	256
dense_4 (Dense)	(None, 64)	4160
dropout_5 (Dropout)	(None, 64)	0
batch_normalization_5 (Batch Normalization)	(None, 64)	256
dense_5 (Dense)	(None, 5)	325
=====		
Total params: 24709 (96.52 KB)		
Trainable params: 24453 (95.52 KB)		
Non-trainable params: 256 (1.00 KB)		

شکل ۴-۲ ساختار معماری شبکه افزایش یافته LSTM

ولی همانطور که از نتایج زیر مشاهده می‌شود باز هم دقت مدل بسیار پایین است و قابل قبول نیست:

```
54/54 [=====] - 28s 515ms/step - loss: 2.0768 - accuracy: 0.4517 - val_loss: 2.1057 - val_accuracy: 0.4428
Epoch 19/50
54/54 [=====] - 33s 615ms/step - loss: 2.0821 - accuracy: 0.4452 - val_loss: 2.1134 - val_accuracy: 0.4422
Epoch 20/50
54/54 [=====] - 33s 607ms/step - loss: 2.0933 - accuracy: 0.4420 - val_loss: 2.1253 - val_accuracy: 0.4422
Epoch 21/50
54/54 [=====] - 28s 523ms/step - loss: 2.1061 - accuracy: 0.4416 - val_loss: 2.1261 - val_accuracy: 0.4416
Epoch 22/50
54/54 [=====] - 26s 477ms/step - loss: 2.1204 - accuracy: 0.4258 - val_loss: 2.1177 - val_accuracy: 0.4422
Epoch 23/50
54/54 [=====] - 34s 631ms/step - loss: 2.1270 - accuracy: 0.4362 - val_loss: 2.1108 - val_accuracy: 0.4439
Epoch 24/50
54/54 [=====] - 35s 646ms/step - loss: 2.1324 - accuracy: 0.4116 - val_loss: 2.1220 - val_accuracy: 0.4393
```

پس معماری مدل را ساده تر میکنیم و هایپرپارامترها را تغییر می‌دهیم تا به بهترین مدل ممکن برسیم.



۳-۴-۴- کاهش رگولاریشن LSTM:

در اینجا مدل را ساده کردیم و با تغییر هایپرپارامترهای شبکه در بهینه ساز شبکه به مدلی با نتایج بهتر دست پیدا کردیم که نتیجه آن را در پایین می‌بینید که به دقت ۵۹ درصد رسیده است. هرچند این دقت کافی نیست و به دنبال معماری و متد بهتری می‌رویم.

شکل ۳-۴ ساختار معماری شبکه
مدل ساده شده LSTM

```
100/100 [=====] - 17s 171ms/step - loss: 0.5141 - accuracy: 0.5494 - val_loss: 0.5037 - val_accuracy: 0.5925
Epoch 10/40
100/100 [=====] - 17s 173ms/step - loss: 0.5113 - accuracy: 0.5500 - val_loss: 0.5078 - val_accuracy: 0.5925
Epoch 11/40
100/100 [=====] - 18s 176ms/step - loss: 0.5132 - accuracy: 0.5500 - val_loss: 0.5037 - val_accuracy: 0.5925
Epoch 12/40
100/100 [=====] - 17s 172ms/step - loss: 0.5097 - accuracy: 0.5512 - val_loss: 0.5027 - val_accuracy: 0.5900
Epoch 13/40
100/100 [=====] - 17s 173ms/step - loss: 0.5093 - accuracy: 0.5500 - val_loss: 0.5031 - val_accuracy: 0.5925
Epoch 14/40
100/100 [=====] - 17s 171ms/step - loss: 0.5072 - accuracy: 0.5500 - val_loss: 0.5088 - val_accuracy: 0.5850
Epoch 15/40
100/100 [=====] - 17s 172ms/step - loss: 0.5097 - accuracy: 0.5506 - val_loss: 0.5035 - val_accuracy: 0.5925
Epoch 16/40
100/100 [=====] - 17s 171ms/step - loss: 0.5097 - accuracy: 0.5494 - val_loss: 0.5055 - val_accuracy: 0.5850
Epoch 17/40
100/100 [=====] - 17s 172ms/step - loss: 0.5071 - accuracy: 0.5487 - val_loss: 0.5055 - val_accuracy: 0.5925
Epoch 18/40
100/100 [=====] - 17s 172ms/step - loss: 0.5081 - accuracy: 0.5500 - val_loss: 0.4987 - val_accuracy: 0.5925
```


در زیر می‌توانید پارامترهای شبکه را مشاهده کنید:

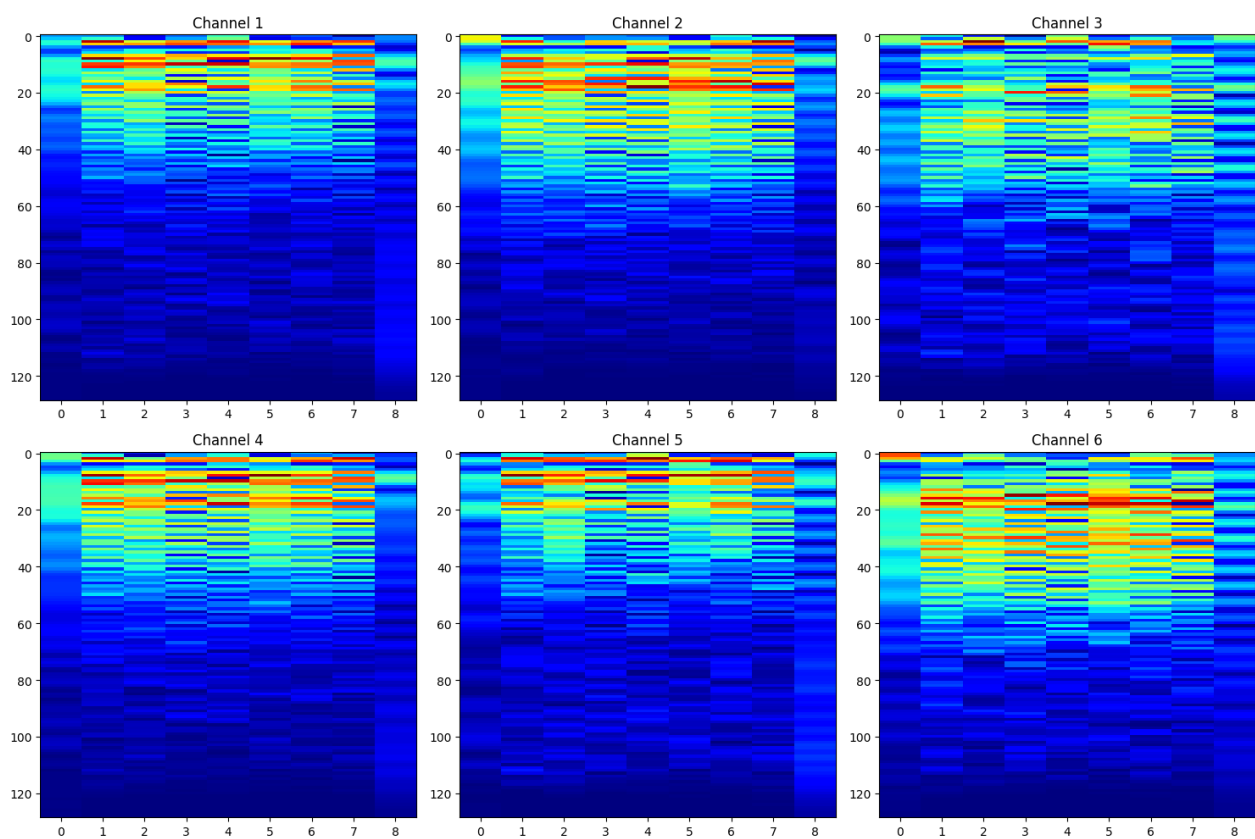
```
8 # Define model parameters
9 input_shape = (1000, num_channel)
10 num_classes = 5
11
12 # Define LSTM model
13 model = Sequential()
14 model.add(LSTM(64, input_shape=input_shape))
15 # model.add(Dropout(0.2))
16 # model.add(BatchNormalization())
17
18 model.add(Dense(64, activation='relu', kernel_regularizer=regularizers.l2(1=0.001)))
19 # model.add(Dropout(0.2))
20 # model.add(BatchNormalization())
21 model.add(Dense(num_classes, activation='softmax'))
22
23 # Compile model
24 adam = optimizers.Adam(learning_rate=0.001, beta_1=0.9, beta_2=0.999, epsilon=1e-08, decay=0.0)
25 model.compile(loss='binary_crossentropy', optimizer=adam, metrics=['accuracy'])
26
27 # Print model summary
28 model.summary()
29
30 # Train model
31 model.fit(Y_train_scaled, Z_train, epochs=40, batch_size=16, validation_split=0.2)
```

۴-۵- پیاده سازی معماری های برپایه CNN:

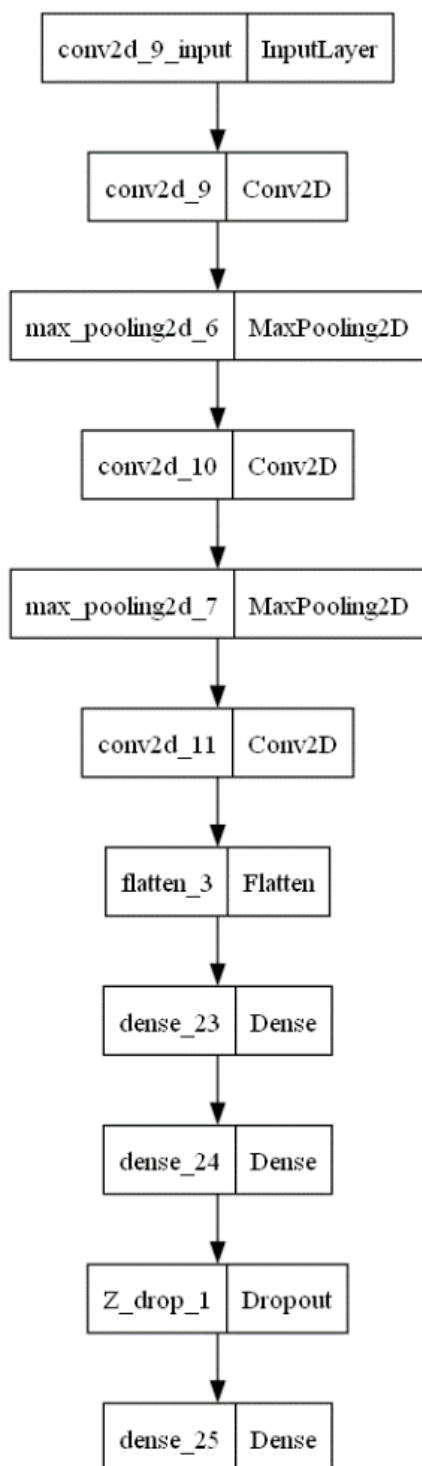
۴-۵-۱ CNN در حوزه فرکانسی با استفاده از STFT, CWT

برای پیاده سازی این روش از هر ۶ کلاس اول از ۱۲ کلاس داده هر سابلکت (که تعیین بیماری افراد نقش اساسی تری دارند) تبدیل شورت تایم فوریه یا ویولت میگیریم.

خروجی تبدیل شورت تایم فوریه روی ۶ کانال سابلکت اول را مشاهده می‌کنید:



شکل ۴-۱۲ خروجی تبدیل شورت تایم فوریه روی ۶ کانال سابجکت اول



شکل ۱۳-۴ ساختار شبکه در مدل
باورودی فرکانسی

حال این ۶ تصویر را در بعد سوم به هم متصل کرده و به شبکه عصبی کانولوشنی به ساختار روبه رو می‌دهیم:

در ابتدا مدل از افزایش گرادیان فاحش رنج می‌برد و با طول زمان دقت مدل به شدت کاهش پیدا می‌کند. ولی با کاهش نرخ یادگیری^۱ و افزایش رگولاریزیشن این مشکل حل شد.

رگولاریزیشن در شبکه های عصبی یک تکنیک مهم برای جلوگیری از **Overfitting** و **Underfitting** مدل است. به طور خلاصه، رگولاریزیشن با جریمه کردن مدل به دلیل پیچیدگی بیش از حد، آن را به سمت تعمیم بهتر به داده های جدید سوق می دهد.

انواع مختلفی از رگولاریزیشن وجود دارد:

رگولاریزیشن L1, L2: این روش با اضافه کردن جریمه ای به مجموع مربعات خطاها از بزرگ شدن ضرایب نرون ها و در نتیجه وابستگی بیش از حد مدل به یک ویژگی جلوگیری می کند.

Dropout: این روش به طور تصادفی برخی از نرون های شبکه عصبی را در طول آموزش غیرفعال می کند، که به مدل کمک می کند تا به ویژگی های مختلف داده ها وابستگی کمتری داشته باشد و مدل اورفیت نشود.

Early stopping: این روش، آموزش مدل را زمانی که عملکرد آن در مجموعه داده های اعتبارسنجی شروع به کاهش می کند یا افزایش چندانی در مرحله آموزش ندارد، متوقف می کند.

^۱ learning rate

در عکس زیر حل مشکل افزایش گرادیان را مشاهده می‌کنید:

```
Epoch 6/10
13/13 [=====] - 1s 61ms/step - loss: 52.0195 - accuracy: 0.3331 - val_loss: 78.2931 - val_accuracy: 0.4225
Epoch 7/10
13/13 [=====] - 1s 62ms/step - loss: 313.6123 - accuracy: 0.3388 - val_loss: 343.1458 - val_accuracy: 0.5500
Epoch 8/10
13/13 [=====] - 1s 61ms/step - loss: 1392.1661 - accuracy: 0.3100 - val_loss: 1641.2991 - val_accuracy: 0.5500
Epoch 9/10
13/13 [=====] - 1s 67ms/step - loss: 5442.3721 - accuracy: 0.3613 - val_loss: 4791.3901 - val_accuracy: 0.5500
Epoch 10/10
13/13 [=====] - 1s 60ms/step - loss: 19718.0391 - accuracy: 0.3000 - val_loss: 16921.5586 - val_accuracy: 0.5500
13/13 [=====] - 1s 63ms/step - loss: 53637.8984 - accuracy: 0.3113 - val_loss: 35996.9414 - val_accuracy: 0.5500
13/13 [=====] - 0s 10ms/step - loss: 35996.9375 - accuracy: 0.5500
Validation loss: 35996.9375
Validation accuracy: 0.550000011920929
```

تا اینجا بهبود چشم گیری داشتیم ولی همانطور که در عکس زیر مشاهده می‌کنید با وجود تغییرات فراوان در معماری مدل و هاپیر پارامتر های آن، دقت مدل در ۵۵ درصد گیر میکند و مدل آندر فیت است و به دقت لازم نمی‌رسد.

```
Epoch 6/10
13/13 [=====] - 1s 62ms/step - loss: 2.2399 - accuracy: 0.5213 - val_loss: 2.1160 - val_accuracy: 0.5500
Epoch 7/10
13/13 [=====] - 1s 62ms/step - loss: 2.4586 - accuracy: 0.4594 - val_loss: 2.2346 - val_accuracy: 0.5500
Epoch 8/10
13/13 [=====] - 1s 62ms/step - loss: 3.1595 - accuracy: 0.4106 - val_loss: 2.4282 - val_accuracy: 0.5500
Epoch 9/10
13/13 [=====] - 1s 59ms/step - loss: 4.6180 - accuracy: 0.3537 - val_loss: 3.2974 - val_accuracy: 0.5500
Epoch 10/10
13/13 [=====] - 1s 62ms/step - loss: 6.6532 - accuracy: 0.3481 - val_loss: 4.2043 - val_accuracy: 0.5500
13/13 [=====] - 0s 10ms/step - loss: 4.2043 - accuracy: 0.5500
Validation loss: 4.204294204711914
Validation accuracy: 0.550000011920929
```

علت این امر را در دو موضوع می‌توان دانست:

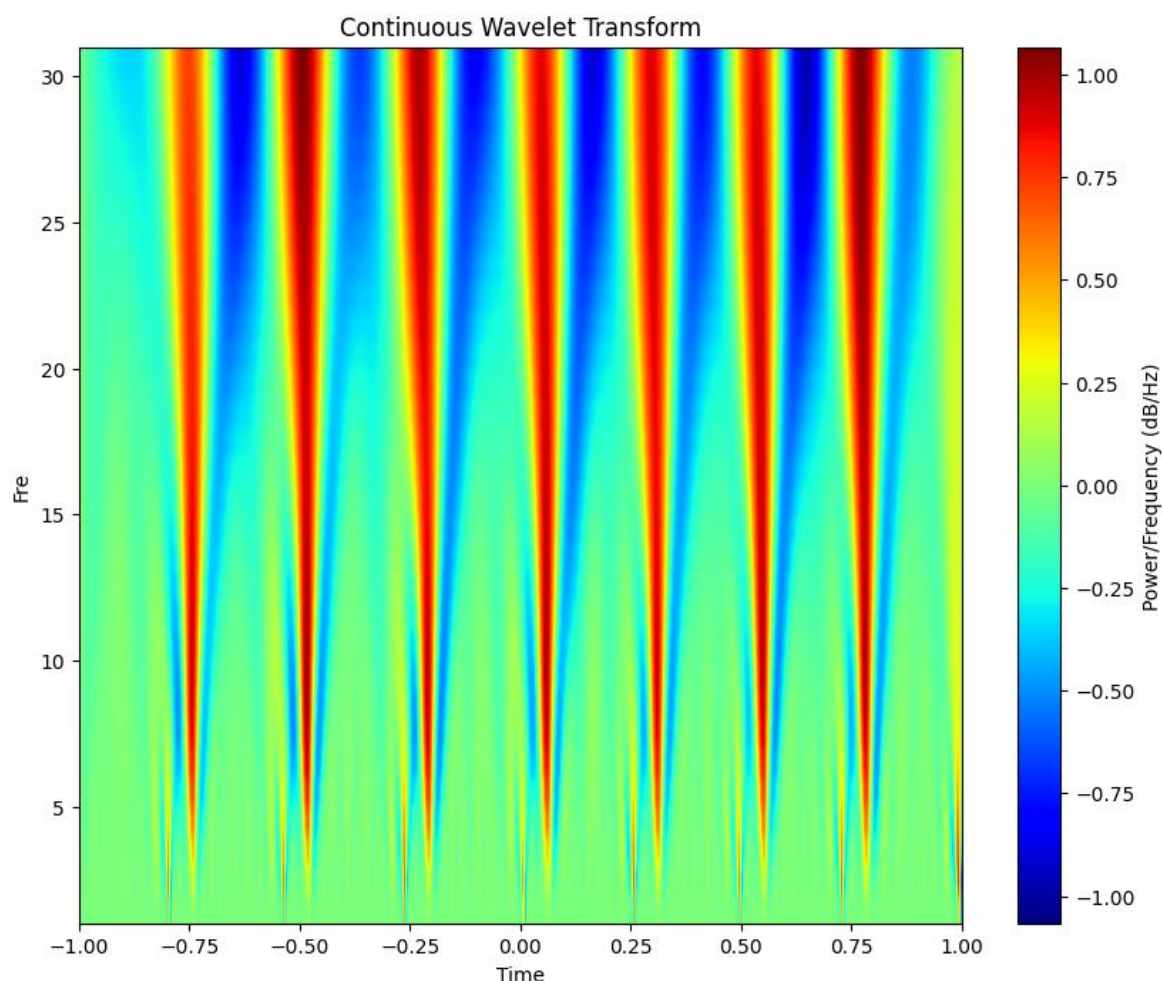
۱. در بسیاری از سیگنال ها لزوما اطلاعات سیگنال در حوزه فرکانسی آن ها ذخیره نشده است. لذا با تمرکز مدل بر روی فرکانس ممکن است به وضوح ارتباطی میان لیبیل ها و فیچر ها نتوان پیدا کرد.

۲. ممکن است با توجه به پیچیدگی داده و تعداد کانال های داده، پیچیدگی مدل یا تعداد سمپل برای پیدا کردن ارتباط میان فیچرها و لیبیل ها کافی نباشد.

همچنین از تبدیل ویولت هم استفاده کردیم که برای خروجی آن روی سیگنال به شکل زیر نمایش داده می‌شود. همانطور که در کد زیر می‌بینید با استفاده از کتابخانه scipy تبدیل ویولت سیگنال را می‌گیریم و نمودار آنرا می‌کشیم:

```
from scipy import signal
cwtmatr = signal.cwt(sig, signal.ricker, widths)
fig = plt.figure(figsize=(10, 8))
cwtmatr_yflip = np.flipud(cwtmatr)
plt.imshow(cwtmatr_yflip, extent=[-1, 1, 1, 31], cmap='jet', aspect='auto',
           vmax=abs(cwtmatr).max(), vmin=-abs(cwtmatr).max())
```

که خروجی تبدیل، به شکل زیر است:



شکل ۴-۱۴ خروجی تبدیل CWT از کانال اول سابجکت اول

ولی همانطور که در عکس زیر مشاهده می‌کنید به دلیل حجم محاسباتی زیاد این تبدیل و تعداد چنل‌های زیاد سیگنال، با وجود تست روش‌های مختلف از جمله کاهش حداکثری داده، با مشکل کمبود منابع محاسباتی مواجه شدیم:

```
MemoryError                                Traceback (most recent call last)
Cell In[22], line 37
    35 subject_wavelet = compute_concat_wavelet_transform(Y_train[i])
    36 wavelet_images.append(subject_wavelet)
--> 37 wavelet_images = np.stack(wavelet_images, axis=0)
    39 # Plot Wavelet Transform images for the first subject
    40 fig, axs = plt.subplots(2, 3, figsize=(15, 10))

File ~\AppData\Local\Packages\PythonSoftwareFoundation.Python.3.10_qbz5n2kfra8p0\LocalCache\local-packages\Python310\site-packages\numpy\core\shape_base.py:471, in stack(arrays, axis, out, dtype, casting)
    469 sl = (slice(None),) * axis + (_nx.newaxis,)
    470 expanded_arrays = [arr[sl] for arr in arrays]
--> 471 return _nx.concatenate(expanded_arrays, axis=axis, out=out,
    472                        dtype=dtype, casting=casting)

File ~\AppData\Local\Packages\PythonSoftwareFoundation.Python.3.10_qbz5n2kfra8p0\LocalCache\local-packages\Python310\site-packages\numpy\lib\function_base.py:200, in concatenate(*args, **kwargs)
MemoryError: Unable to allocate 11.4 GiB for an array with shape (1000, 1000, 128, 12) and data type float64
```

شکل ۴-۱۵ مشکل کمبود منابع محاسباتی در تبدیل CWT

حتی این الگوریتم را با معماری Le_Net دیگری در کتابخانه pytorch امتحان کردیم که نتایج مشابه بود!

```
LeNet5(  
  (conv1): Conv2d(3, 6, kernel_size=(5, 5), stride=(1, 1), padding=(2, 2))  
  (relu1): ReLU()  
  (maxpool1): MaxPool2d(kernel_size=2, stride=2, padding=0, dilation=1, ceil_mode=False)  
  (conv2): Conv2d(6, 16, kernel_size=(5, 5), stride=(1, 1))  
  (relu2): ReLU()  
  (maxpool2): MaxPool2d(kernel_size=2, stride=2, padding=0, dilation=1, ceil_mode=False)  
  (conv3): Conv2d(16, 120, kernel_size=(5, 5), stride=(1, 1))  
  (relu3): ReLU()  
  (flatten): Flatten(start_dim=1, end_dim=-1)  
  (fc1): Linear(in_features=959760, out_features=84, bias=True)  
  (relu4): ReLU()  
  (fc2): Linear(in_features=84, out_features=5, bias=True)  
)  
Number of parameters: 80671341
```

```
Epoch [5/35], Train Loss: 1.8364, Train Acc: 55.30%, Test Loss: 1.8734, Test Acc: 53.00%  
Epoch [6/35], Train Loss: 1.8193, Train Acc: 55.30%, Test Loss: 1.8690, Test Acc: 53.00%  
Epoch [7/35], Train Loss: 1.8356, Train Acc: 55.30%, Test Loss: 1.8860, Test Acc: 53.00%  
Epoch [8/35], Train Loss: 1.8269, Train Acc: 55.30%, Test Loss: 1.8852, Test Acc: 53.00%  
Epoch [9/35], Train Loss: 1.7973, Train Acc: 55.30%, Test Loss: 1.8452, Test Acc: 53.00%
```

با وجود عدم موفقیت این دو متد برای پژوهش ما، برای کارهای آینده این دو مدل می‌توانند از پتانسیل خوبی برخوردار باشند زیرا از هر دو خصوصیت زمانی و فرکانسی سیگنال‌ها حمایت می‌کنند.

۲-۵-۴ CNN یک بعدی در حوزه زمانی (مدل موفق نهایی)

برای این مدل از داده‌ی ۵۰۰۰ سابجکت استفاده کردیم. در نهایت شبکه کانولوشنی روی خود سیگنال زمانی را امتحان کردیم که موفق ترین مدل بدست آمد. ساختار این شبکه کانولوشنی را در زیر می‌بینید:

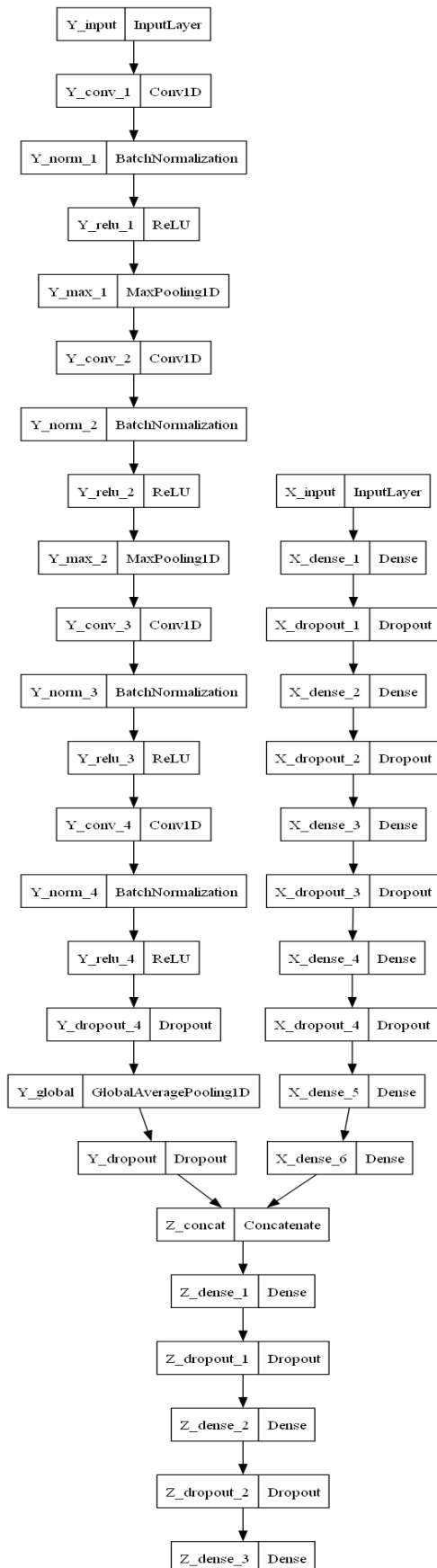
همانطور که ساختار این شبکه پیداست از دو شاخه تشکیل شده است.

شاخه سمت راست اطلاع جدولی هر سابجکت را می‌گیرد
مانند:

Sex, height, weight, scp_codes, heart_axis

شاخه سمت چپ سیگنال قلبی فرد در ۱۲ کانال را بوسیله شبکه CNN می‌گیرد و بررسی می‌کند و این دوشاخه در نهایت به هم می‌رسند جایی که توسط سه لایه Fully connected تصمیم گیری نهایی خروجی مدل، هم براساس سیگنال که از شاخه سمت چپ آمده و هم براساس داده جدولی که از شاخه سمت راست آمده انجام می‌شود.

حال به بررسی کد این مدل می‌پردازیم.



شکل ۱۶-۴ ساختار مدل CNN یک بعدی

در این قسمت از کد ساختار شاخه سمت راست که داده جدولی سابجکت های را می گیرد مشاهده می کنید.
همانطور که مشاهده می کنید ابتدا لایه ها شبکه CNN را تعریف کرده ایم.

```
6 # X model
7 X_input = tf.keras.layers.Input(X_train_scaled.shape[1:], name="X_input")
8 X = Dense(64, activation='relu', name="X_dense_1")(X_input)
9 # X = Dropout(0.3, name="X_dropout_1")(X)
10 X = Dense(128, activation='relu', name="X_dense_2")(X)
11 # X = Dropout(0.3, name="X_dropout_2")(X)
12 X = Dense(64, activation='relu', name="X_dense_3")(X)
13 X = Dropout(0.3, name="X_dropout_3")(X)
14 X = Dense(64, activation='relu', name="X_dense_4")(X)
15 X = Dropout(0.3, name="X_dropout_4")(X)
16 X = Dense(32, activation='relu', name="X_dense_5")(X)
17 outputX = Dense(Z_train.shape[-1], activation='sigmoid', name="X_dense_6")(X)
18
19 modelX = tf.keras.Model( inputs= X_input , outputs= outputX)
20 adam = optimizers.legacy.Adam(learning_rate=0.01, beta_1=0.9, beta_2=0.999, epsilon=1e-08, decay=0.001)
21
22 modelX.compile(loss='binary_crossentropy',
23               optimizer=adam,
24               metrics=['binary_accuracy', 'Precision', 'Recall'])
25
26
27 modelX.fit( X_train_scaled, Z_train, epochs = 120, batch_size=16, validation_data= (X_val_scaled, Z_val) )
28
```

حال این شاخه را Train می کنیم و همانطور که مشاهده می کنید به دقت ۷۹.۵۷ برای این شاخه که با داده‌ی جدولی هر سابجکت کار می کند، بدست می آید:

```
Epoch 106/120
236/236 [=====] - 1s 3ms/step - loss: 0.4056 - binary_accuracy: 0.8240 - precision: 0.7197 - r
ecall: 0.4910 - val_loss: 0.4845 - val_binary_accuracy: 0.7947 - val_precision: 0.6639 - val_recall: 0.4092
Epoch 107/120
236/236 [=====] - 1s 3ms/step - loss: 0.4075 - binary_accuracy: 0.8231 - precision: 0.7203 - r
ecall: 0.4843 - val_loss: 0.4849 - val_binary_accuracy: 0.7951 - val_precision: 0.6632 - val_recall: 0.4130
Epoch 108/120
236/236 [=====] - 1s 3ms/step - loss: 0.4063 - binary_accuracy: 0.8233 - precision: 0.7221 - r
ecall: 0.4832 - val_loss: 0.4844 - val_binary_accuracy: 0.7941 - val_precision: 0.6592 - val_recall: 0.4130
Epoch 109/120
236/236 [=====] - 1s 3ms/step - loss: 0.4049 - binary_accuracy: 0.8256 - precision: 0.7277 - r
ecall: 0.4891 - val_loss: 0.4895 - val_binary_accuracy: 0.7905 - val_precision: 0.6436 - val_recall: 0.4156
Epoch 110/120
236/236 [=====] - 1s 3ms/step - loss: 0.4071 - binary_accuracy: 0.8242 - precision: 0.7219 - r
ecall: 0.4889 - val_loss: 0.4862 - val_binary_accuracy: 0.7937 - val_precision: 0.6585 - val_recall: 0.4118
Epoch 111/120
236/236 [=====] - 1s 3ms/step - loss: 0.4054 - binary_accuracy: 0.8248 - precision: 0.7235 - r
ecall: 0.4904 - val_loss: 0.4872 - val_binary_accuracy: 0.7944 - val_precision: 0.6612 - val_recall: 0.4118
Epoch 112/120
236/236 [=====] - 1s 3ms/step - loss: 0.4060 - binary_accuracy: 0.8247 - precision: 0.7300 - r
ecall: 0.4805 - val_loss: 0.4877 - val_binary_accuracy: 0.7944 - val_precision: 0.6612 - val_recall: 0.4118
Epoch 113/120
236/236 [=====] - 1s 2ms/step - loss: 0.4051 - binary_accuracy: 0.8257 - precision: 0.7254 - r
ecall: 0.4936 - val_loss: 0.4838 - val_binary_accuracy: 0.7944 - val_precision: 0.6612 - val_recall: 0.4118
Epoch 114/120
236/236 [=====] - 1s 3ms/step - loss: 0.4056 - binary_accuracy: 0.8238 - precision: 0.7212 - r
ecall: 0.4872 - val_loss: 0.4859 - val_binary_accuracy: 0.7957 - val_precision: 0.6633 - val_recall: 0.4182
Epoch 115/120
236/236 [=====] - 1s 2ms/step - loss: 0.4032 - binary_accuracy: 0.8249 - precision: 0.7299 - r
ecall: 0.4815 - val_loss: 0.4905 - val_binary_accuracy: 0.7957 - val_precision: 0.6646 - val_recall: 0.4156
Epoch 116/120
236/236 [=====] - 1s 3ms/step - loss: 0.4051 - binary_accuracy: 0.8240 - precision: 0.7191 - r
ecall: 0.4919 - val_loss: 0.4840 - val_binary_accuracy: 0.7944 - val_precision: 0.6718 - val_recall: 0.3926
Epoch 117/120
236/236 [=====] - 1s 3ms/step - loss: 0.4052 - binary_accuracy: 0.8253 - precision: 0.7329 - r
ecall: 0.4796 - val_loss: 0.4915 - val_binary_accuracy: 0.7918 - val_precision: 0.6475 - val_recall: 0.4182
Epoch 118/120
236/236 [=====] - 1s 3ms/step - loss: 0.4027 - binary_accuracy: 0.8254 - precision: 0.7299 - r
ecall: 0.4849 - val_loss: 0.4901 - val_binary_accuracy: 0.7911 - val_precision: 0.6455 - val_recall: 0.4169
Epoch 119/120
236/236 [=====] - 1s 3ms/step - loss: 0.4050 - binary_accuracy: 0.8242 - precision: 0.7281 - r
ecall: 0.4798 - val_loss: 0.4894 - val_binary_accuracy: 0.7905 - val_precision: 0.6441 - val_recall: 0.4143
Epoch 120/120
236/236 [=====] - 1s 3ms/step - loss: 0.4034 - binary_accuracy: 0.8253 - precision: 0.7273 - r
ecall: 0.4881 - val_loss: 0.4865 - val_binary_accuracy: 0.7951 - val_precision: 0.6646 - val_recall: 0.4105
```


حال ساختار شبکه عصبی شاخه سمت چپ را تعریف می کنیم:

```
2 Y_input = tf.keras.layers.Input(Y_train_scaled.shape[1:], name="Y_input")
3
4 Y = Conv1D(32, 3, padding='same', name="Y_conv_1")(Y_input)
5 Y = BatchNormalization(name="Y_norm_1")(Y)
6 Y = ReLU(name="Y_relu_1")(Y)
7 Y = MaxPooling1D(2, name="Y_max_1")(Y)
8
9 Y = Conv1D(64, 3, padding='same', name="Y_conv_2")(Y)
10 Y = BatchNormalization(name="Y_norm_2")(Y)
11 Y = ReLU(name="Y_relu_2")(Y)
12 Y = MaxPooling1D(2, name="Y_max_2")(Y)
13
14 Y = Conv1D(128, 3, padding='same', name="Y_conv_3")(Y)
15 Y = BatchNormalization(name="Y_norm_3")(Y)
16 Y = ReLU(name="Y_relu_3")(Y)
17
18 Y = Conv1D(64, 3, padding='same', name="Y_conv_4")(Y)
19 Y = BatchNormalization(name="Y_norm_4")(Y)
20 Y = ReLU(name="Y_relu_4")(Y)
21 Y = Dropout(0.3, name="Y_dropout_4")(Y)
22
23 Y = GlobalAveragePooling1D(name="Y_global")(Y)
24
25 outputY = Dropout(0.4, name="Y_dropout")(Y)
```

در اینجا شاخه اصلی که دو شاخه سمت راست و چپ را به هم متصل می کند با نام modelZ تعریف می کنیم و در ورودی آن دو مدل شاخه چپ و راست را می دهیم:

```
4 Z = Concatenate(name="Z_concat")([outputX, outputY])
5 Z = Dense(64, activation='relu', name="Z_dense_1")(Z)
6 Z = Dropout(0.4, name="Z_dropout_1")(Z)
7 Z = Dense(64, activation='relu', name="Z_dense_2")(Z)
8 Z = Dropout(0.4, name="Z_dropout_2")(Z)
9 output = Dense(Z_train.shape[-1], activation="sigmoid", name="Z_dense_3")(Z)
10 from plot_model import plot_model
11 from tensorflow.keras.utils import plot_model
12
13 modelZ = tf.keras.Model(inputs=[X_input, Y_input], outputs=output)
```

حال optimizer مدل نهایی مان Adam تعریف می کنیم و پارامترهای آن را مشخص می کنیم. پارامتر learning_rate اندازه گام بهینه ساز در همگرایی و پارامتر beta میزان مومنتوم تغییرات این گام ها را تعیین می کنند که سرعت همگرایی مدل به نقطه بهینه را مشخص می کنند که در این تابع مقدار دهی کردیم. همچنین پارامتر decay میزان کاهش leaning_rate را تعیین می کند که باعث می شود زمانی که بهینه ساز حدود محدود بهینه را پیدا کرد با گام هایی کوچکتر با دقت بالاتری به نقاط بهینه همگرا شود.

```
1 adam = optimizers.legacy.Adam(learning_rate=0.01, beta_1=0.9, beta_2=0.999, epsilon=1e-08, decay=0.001)
2 modelZ.compile( loss= 'binary_crossentropy', optimizer= adam, metrics=['binary_accuracy', 'Precision', 'Recall'])
3
4 callback = [
5     callbacks.ModelCheckpoint( monitor= 'val_binary_accuracy', save_best_only= True, filepath= root_path+'model'),
6     callbacks.EarlyStopping( monitor= 'val_binary_accuracy', restore_best_weights= True, patience=10, min_delta= 0.001),
7     callbacks.TensorBoard(log_dir= root_path+'/logs')
8 ]
9
10 fitting = modelZ.fit( [X_train_scaled, Y_train_scaled], Z_train, epochs=20, batch_size=128,
11                      callbacks= callback, validation_data=([X_val_scaled, Y_val_scaled], Z_val))
```

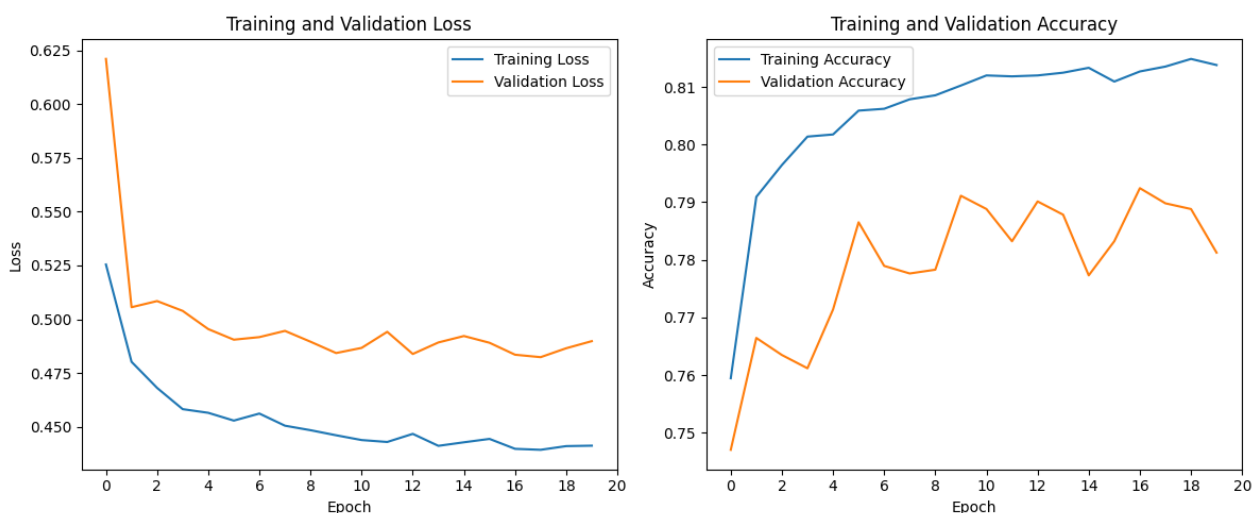
تابع callback که در زمان آموزش، فراخوانی می شود در زمان آموزش هر بار که مدل به بهترین دقت رسید از مدل به خروجی بگیرد تا اگر در epoch های بعدی دچار افت کوچکی شد، همواره بهترین مدل را ذخیره داشته باشیم. عکس زیر زمانی که خطی با زمینه قرمز نمایان شده است این تابع به دلیل بالا فراخوانی شده است. همچنین کاربرد دیگر این تابع به نام early stopping زمانی به کار می آید که مدل در چند epoch

پشت هم افزایش دقت خاصی را تجربه نمی کند که این نشان از رسیدن به بهترین نقطه ممکن است و در این مواقع این تابع فرآیند آموزش را متوقف می کند.

در آخر، مدل کلی را فیت کردیم که در اینجا فرآیند آموزش آن را مشاهده می کنید که مدل بر داده تست به دقت ۷۹.۲۴ درصد رسیده است که دقت خوبی به شمار می رود:

```
Epoch 10/20
30/30 [=====] - ETA: 0s - loss: 0.4460 - binary_accuracy: 0.8102 - precision: 0.6694 - recall: 0.4843
INFO:tensorflow:Assets written to: ./ptb-xl-dataset-1.0.3\model\assets
INFO:tensorflow:Assets written to: ./ptb-xl-dataset-1.0.3\model\assets
30/30 [=====] - 8s 267ms/step - loss: 0.4460 - binary_accuracy: 0.8102 - precision: 0.6694 - recall: 0.4843 - val_loss: 0.4843 - val_binary_accuracy: 0.7911 - val_precision: 0.6554 - val_recall: 0.3964
Epoch 11/20
30/30 [=====] - 5s 181ms/step - loss: 0.4438 - binary_accuracy: 0.8120 - precision: 0.6783 - recall: 0.4794 - val_loss: 0.4867 - val_binary_accuracy: 0.7888 - val_precision: 0.6417 - val_recall: 0.4054
Epoch 12/20
30/30 [=====] - 6s 183ms/step - loss: 0.4429 - binary_accuracy: 0.8118 - precision: 0.6774 - recall: 0.4801 - val_loss: 0.4941 - val_binary_accuracy: 0.7832 - val_precision: 0.6194 - val_recall: 0.4079
Epoch 13/20
30/30 [=====] - 5s 180ms/step - loss: 0.4467 - binary_accuracy: 0.8120 - precision: 0.6804 - recall: 0.4754 - val_loss: 0.4838 - val_binary_accuracy: 0.7901 - val_precision: 0.6545 - val_recall: 0.3900
Epoch 14/20
30/30 [=====] - 5s 182ms/step - loss: 0.4411 - binary_accuracy: 0.8125 - precision: 0.6779 - recall: 0.4839 - val_loss: 0.4892 - val_binary_accuracy: 0.7878 - val_precision: 0.6367 - val_recall: 0.4079
Epoch 15/20
30/30 [=====] - 5s 180ms/step - loss: 0.4428 - binary_accuracy: 0.8133 - precision: 0.6860 - recall: 0.4746 - val_loss: 0.4922 - val_binary_accuracy: 0.7773 - val_precision: 0.5949 - val_recall: 0.4207
Epoch 16/20
30/30 [=====] - 5s 180ms/step - loss: 0.4443 - binary_accuracy: 0.8109 - precision: 0.6724 - recall: 0.4832 - val_loss: 0.4890 - val_binary_accuracy: 0.7832 - val_precision: 0.6194 - val_recall: 0.4079
Epoch 17/20
30/30 [=====] - ETA: 0s - loss: 0.4397 - binary_accuracy: 0.8127 - precision: 0.6860 - recall: 0.4699
INFO:tensorflow:Assets written to: ./ptb-xl-dataset-1.0.3\model\assets
INFO:tensorflow:Assets written to: ./ptb-xl-dataset-1.0.3\model\assets
30/30 [=====] - 8s 277ms/step - loss: 0.4397 - binary_accuracy: 0.8127 - precision: 0.6860 - recall: 0.4699 - val_loss: 0.4835 - val_binary_accuracy: 0.7924 - val_precision: 0.6736 - val_recall: 0.3747
Epoch 18/20
30/30 [=====] - 5s 181ms/step - loss: 0.4393 - binary_accuracy: 0.8135 - precision: 0.6936 - recall: 0.4625 - val_loss: 0.4823 - val_binary_accuracy: 0.7898 - val_precision: 0.6462 - val_recall: 0.4041
Epoch 19/20
30/30 [=====] - 5s 179ms/step - loss: 0.4410 - binary_accuracy: 0.8149 - precision: 0.6944 - recall: 0.4706 - val_loss: 0.4865 - val_binary_accuracy: 0.7888 - val_precision: 0.6452 - val_recall: 0.3977
Epoch 20/20
30/30 [=====] - 5s 178ms/step - loss: 0.4412 - binary_accuracy: 0.8138 - precision: 0.6921 - recall: 0.4670 - val_loss: 0.4898 - val_binary_accuracy: 0.7812 - val_precision: 0.6154 - val_recall: 0.3990
```

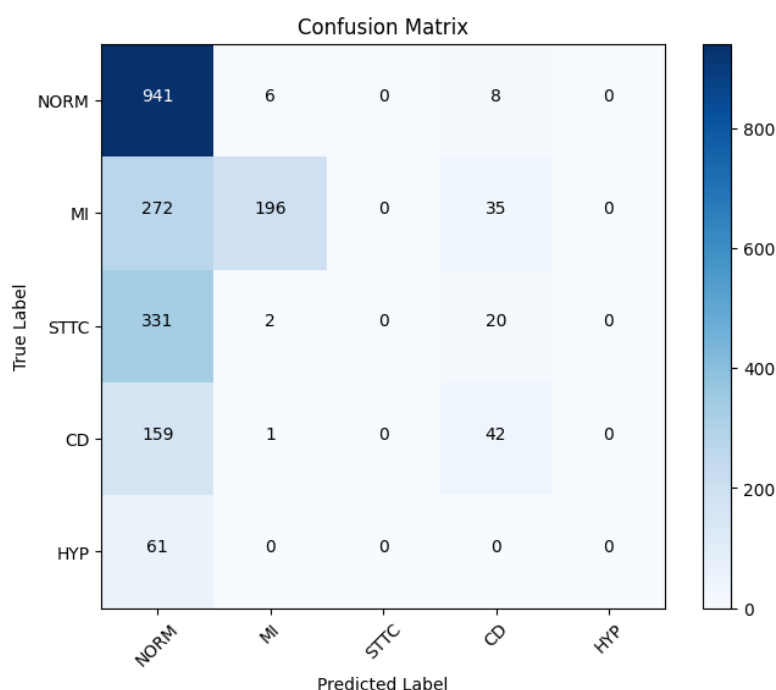
در اینجا می توانید نمودار دقت و هزینه مدل در طی روند آموزش، هم بر داده آموزش و هم بر داده تست را مشاهده کنید:



شکل ۱۷-۴ روند کاهش هزینه و افزایش دقت مدل در طی فرآیند یادگیری مدل

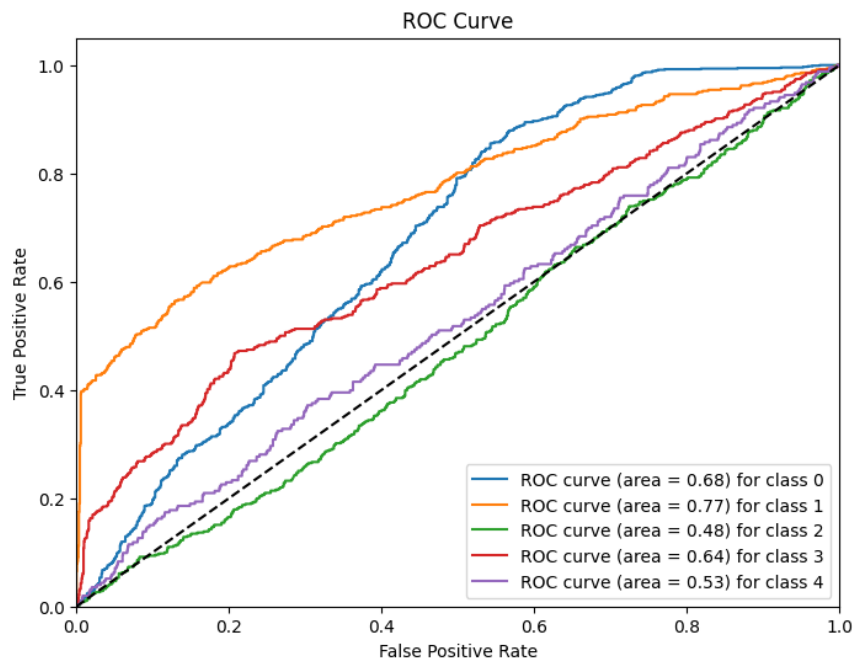
شکل زیر نمودار confusion matrix مدل را نشان می‌دهد که همانطور که می‌بینید بیشتر داده‌ها روی قطر این نمودار قرار دارد. این موضوع نشان دهنده این است که مدل به خوبی کار می‌کند. همانطور که مشاهده کردید از دقت بالای مدل معلوم بود. همچنین از نقاط دیگر نمودار می‌توان به کلاس‌هایی که مدل در آنها ضعف دارد پی برد. همانطور که می‌بینید مقادیر ۲۷۲ و ۳۳۱ و ۱۵۹ از مواردی بودند که مدل ساجکت را سالم پیش‌بینی کرده ولی در واقع دچار یکی از لیبل‌های MI یا STTC یا CD بودند که این موضوع قدری باعث کاهش Recall مدل شده که در نتایج بالا مشهود بود.

جدول ۴-۴ confusion matrix مدل CNN یک بعدی



همچنین در شکل زیر نمودار ROC^۱ در کلاس‌های مختلف را مشاهده می‌کنید:

^۱ Receiver operating characteristic



شکل ۱۸-۴ نمودار ROC در کلاس های مختلف در مدل CNN یک بعدی این نمودار Trade off میان precision و recall را که تابع ای از threshold است به خوبی نشان می دهد. مساحت زیر این نمودار نشان دهنده AUC است که معیاری برای عملکرد مدل به شمار می رود و همانطور که مشاهده می کنید مدل در کلاس های ۰ و ۱ و ۳ عملکرد بهتری دارد.

فصل ۵ – نتیجه گیری

۵-۱-تحقیقات بیشتر در آینده

در آینده، تحقیقات و توسعه‌های بیشتر در حوزه پردازش و دسته‌بندی سیگنال‌های قلبی با استفاده از هوش مصنوعی و شبکه‌های عصبی می‌تواند به رشد و پیشرفت بیشتری در این زمینه منجر شود. در زیر، برخی از ایده‌هایی که در آینده می‌تواند مورد توجه قرار گیرند را بیان کرده‌ام:

۵-۱-۱- بهبود عملکرد شبکه‌های عصبی عمیق

بوسیله بهبود هرروزه‌ی الگوریتم‌های یادگیری عمیق و شبکه‌های عصبی می‌توان به دقت‌های بالاتر برای روش‌های پیشبینی و تشخیص انواع بیماری رسید.

۵-۱-۲- یادگیری ماشینی تقویت شده

یادگیری تقویت شده به ماشین‌ها امکان می‌دهد تا از تجربیات خود یاد بگیرند و تصمیم‌هایی را در مورد تحلیل سیگنال‌های قلبی بگیرند. با استفاده از این روش، ماشین‌ها می‌توانند اطلاعات بیشتری را از رویکردهای مختلف تحلیل سیگنال‌های قلبی به دست آورند و عملکرد خود را بهبود بخشند. اگرچه این روش‌ها به پلنت سیستم یا محیط شبیه‌سازی نیازمندند ولی می‌توانند بسیار Robust و Data-efficient باشند.

۵-۱-۳- ترکیب داده‌های چند منبع

ترکیب داده‌های از منابع مختلف مانند سیگنال‌های ECG با داده‌های دیگر پزشکی می‌تواند اطلاعات بیشتری را ارائه دهد. به این ترتیب، تشخیص و تحلیل بیماری‌های قلبی می‌تواند دقیق‌تر و کارآمدتر باشد. برای مثال ترکیب داده‌های قلبی بیمار، فشار و اکسیژن خون.

۵-۱-۴- استفاده از شبکه‌های مختلط

ترکیب شبکه‌های عصبی با روش‌های سنتی می‌تواند عملکرد و دقت تحلیل سیگنال‌های قلبی را بهبود بخشد. به این ترتیب، می‌توان از مزایای هر دو روش استفاده کرد و به نتایج بهتری دست پیدا کرد.

۵-۱-۶- حل مسائل امنیتی و حریم خصوصی:

توسعه روش‌هایی برای حفظ حریم خصوصی بیماران و اطمینان از امنیت داده‌های پزشکی از اهمیت بالایی برخوردار است. این اقدامات می‌تواند اعتماد مردم به سیستم‌های تحلیل سیگنال‌های قلبی را بالا ببرد و پذیرش بیشتری داشته باشد.

۵-۲- نتیجه گیری نهایی

در این پژوهش قصد داشتیم که مدل شبکه عصبی طراحی کنیم که با دقت مناسب به کلاس بندی سیگنال های نوار قلب در دیتاست XL_PTB پردازد. بدین منظور ابتدا در فصل اول به مباحث آغازین و مقدمه بحث با تاکید به طرح مسئله و بیان اهمیت و ضرورت این پژوهش پرداختیم. سپس در فصل دوم مفاهیم اولیه و کاربرد های پردازش سیگنال و اصول شبکه های عصبی را مطرح کردیم. پس از آن در فصل سوم و چهارم به بررسی دیتاست و مدل سازی شبکه های عصبی با معماری های مختلف پرداختیم و با تغییر معماری مدل ها و هایپارامترهای شبکه به بهترین مدل خود با معماری CNN یک بعدی رسیدیم. همانطور که مشاهده کردیم با افزایش پیچیدگی مدل ها یا افزایش regularization مدل ها لزوما نمی توان به مدل بهتری دست پیدا کرد و با توجه به مشکل بوجود آمده در خروجی یک مدل باید از این روش ها استفاده کرد تا به دقت بالاتر دست یافت. پژوهش ما با تست و بررسی مدل هایی بر پایه شبکه های LSTM و CNN بر روی دیتاست PTB-XL و مقایسه دقت نهایی این مدل ها به مدلی بر پایه CNN یک بعدی، با دقت مناسب دست پیدا کردیم که با دقت ۷۹.۲۴ درصد به پیش بینی بیماری ساجکت در ۵ کلاس می پردازد.

با توجه به بررسی های انجام شده در قسمت پیشینه پژوهش که بهترین دقت مقاله اول در بین هر سه مدل بررسی شده آنها ۷۶ درصد و بهترین دقت مقاله دوم در بین همه مدل های بررسی شده آنها ۷۴.۹-۷۹.۱ درصد بود، دقت بدست آمده در این پژوهش (۷۹.۲۴) با اختلاف اندکی بهتر از این مدل ها عمل می کند و به بهترین دقت مقاله سوم در بین همه مدل های بررسی شده آنها که ۷۷.۹-۸۰.۲ درصد بود، بسیار نزدیک است در میان بازه آن قرار دارد، در حالی که با روشی کاملاً متفاوت نسبت به این مقاله بر پایه شبکه های عصبی به این دقت رسیده است.

در نتیجه می توان گفت مدل های شبکه عصبی بخصوص CNN ها می توانند به دقت قابل قبولی برای تشخیص و کلاس بندی سیگنال های نوار قلب دست پیدا کنند و تا زمانی که به دقت های بالایی برسند و درصد خطای آنان به صفر میل کند می توان از آنها کنار پزشکان و با نظارت انسانی استفاده کرد تا سرعت و دقت تشخیص و پیش بینی بیماری ها را افزایش دهند.

در آخر امیدواریم که نتایج حاصله بتواند به بهبود دقت و صحت روش های تشخیص بیماری های قلبی کمک نماید.

١. Centers for Disease Control and Prevention. "Heart Disease Facts." Accessed . Available: <https://www.cdc.gov/heartdisease/facts.htm>.
٢. Boulif, Abir, et al. "A Literature Review: ECG-Based Models for Arrhythmia Diagnosis Using Artificial Intelligence Techniques." PubMed, ٢٠٢٣.
٣. Powell, A. "AI revolution in medicine." The Harvard Gazette, ٢٠٢٠. Accessed . Available: <https://news.harvard.edu/gazette/story/١١/٢٠٢٠/risks-and-benefits-of-an-ai-revolution-in-medicine/>.
٤. Śmigiel S, Pałczyński K, Ledziński D. ECG Signal Classification Using Deep Learning Techniques Based on the PTB-XL Dataset. Entropy (Basel, Switzerland). ٢٠٢١ Aug;٢٣(٩):١١٢١. DOI: ١٠,٣٣٩٠/e٢٣٠٩١١٢١. PMID: ٣٤٥٧٣٧٤٦; PMCID: PMC٨٤٦٩٤٢٤.
٥. Śmigiel, Sandra, Krzysztof Pałczyński, and Damian Ledziński. ٢٠٢١. "Deep Learning Techniques in the Classification of ECG Signals Using R-Peak Detection Based on the PTB-XL Dataset" *Sensors* ٢١, no. ٢٤: ٨١٧٤. <https://doi.org/١٠,٣٣٩٠/s٢١٢٤٨١٧٤>
٦. Pałczyński, Krzysztof, Sandra Śmigiel, Damian Ledziński, and Sławomir Bujnowski. ٢٠٢٢. "Study of the Few-Shot Learning for ECG Classification Based on the PTB-XL Dataset" *Sensors* ٢٢, no. ٣: ٩٠٤. <https://doi.org/١٠,٣٣٩٠/s٢٢٠٣٠٩٠٤>
٧. BJ-Copeland. "artificial intelligence." ibmbritannica, ٢٠٢٤. Accessed . Available: <https://www.britannica.com/technology/artificial-intelligence>.
٨. Amisha, P. M., et al. "Overview of artificial intelligence in medicine." PubMed, ٢٠١٩.
٩. Naoum, K. D. "The Dangers of AI in the Healthcare Industry." Thomas, ٢٠٢١. Accessed . Available: <https://www.thomasnet.com/insights/the-challenges-and-dangers-of-ai-in-the-health-care-industry-report/>.
١٠. CHG-MERIDIAN. "ADVANTAGES AND DISADVANTAGES OF ARTIFICIAL INTELLIGENCE IN HEALTHCARE." Accessed . Available: <https://www.chg-meridian.co.uk/resource-centre/blog/advantages-and-disadvantages-of-artificial-intelligence-in-healthcare.html>.
١١. jadagi, Samyuktha. "AI Winter and Resurgence: Understanding the Cycles of Artificial Intelligence." Medium, ٢٠٢٣. Accessed . Available:

- <https://medium.com/@samyukthajadagi/ai-winter-and-resurgence-understanding-the-cycles-of-artificial-intelligence-b03c6ac662f8>
۱۲. Smith, G. M. "What is Signal Processing?" dewesoft, ۲۰۲۳. Accessed . Available: <https://dewesoft.com/blog/what-is-signal-processing>.
 ۱۳. "Complete Guide to Understanding Signal Processing." electronicsforu, ۲۰۲۳. Accessed . Available: <https://www.electronicsforu.com/technology-trends/learn-electronics/signal-processing>.
 ۱۴. Bajaj, Varun, et al. "Biomedical Signal Processing for Healthcare Applications." .۲۰۲۲
 ۱۵. kenhub. "Heart." kenhub, ۲۰۲۳. Accessed . Available: <https://www.kenhub.com/en/library/anatomy/heart>.
 ۱۶. Britannica. "heart anatomy." britannica, Accessed . Available: <https://www.britannica.com/science/heart>.
 ۱۷. Basiri, M. ۲۰۲۳, شماره, "قلب چیست؟ | وظیفه، ساختار، جایگاه و عملکرد." .
 ۱۸. cleveland clinic editors. "Electrical Conduction System of the Heart." cleveland clinic, ۲۰۲۲. Accessed . Available: <https://my.clevelandclinic.org/health/body/۲۲۵۶۲-electrical-system-of-the-heart>.
 ۱۹. Potter, D. L. "Understanding an ECG." ۲۰۲۳. Accessed . Available: <https://geekymedics.com/understanding-an-ecg/>
 ۲۰. Tech, W. "A Complete Guide to Einthoven's Triangle & ECG Testing ". ۲۰۲۳, شماره, Accessed . Available: <https://www.linkedin.com/pulse/complete-guide-einthovens-triangle-ecg-testing-wellnestinc/>
 ۲۱. Ryan, S. S. "Understanding the EKG Signal." Accessed . Available: <https://a-fib.com/treatments-for-atrial-fibrillation/diagnostic-tests-۲/the-ekg-signal/>
 ۲۲. Rawshani, A. Clinical ECG Interpretation.
 ۲۳. Duprez, P. D. "Early detection of cardiovascular disease - the future of cardiology?" . ۲۰۰۶ Accessed February ۱۹, ۲۰۲۴. <https://www.escardio.org/Journals/E-Journal-of-Cardiology-Practice/Volume-۴/vol4n19-Title-Early-detection-of-cardiovascular-disease-the-future-of-cardi>.
 ۲۴. Y. Y. Q. Y. & T. H. Xiaoyu Sun. "Artificial intelligence in cardiovascular diseases: diagnostic and therapeutic perspectives." European Journal of Medical Research, .۲۰۲۳
 ۲۵. S. S. & M. Kumar. "A Systematic Review on Artificial Intelligence-Based Techniques for Diagnosis of Cardiovascular Arrhythmia Diseases: Challenges and Opportunities." SpringerLink, .۲۰۲۳

۲۶. American Heart Association. "AI may accurately detect heart valve disease and predict cardiovascular risk." Newsroom, . ۲۰۲۳ Accessed February ۱۹, ۲۰۲۴. <https://newsroom.heart.org/news/ai-may-accurately-detect-heart-valve-disease-and-predict-cardiovascular-risk>.
۲۷. Henderson, E. "Using AI for early diagnosis of cardiovascular disease." News-medical, . ۲۰۲۳ Accessed February ۱۹, ۲۰۲۴. <https://www.news-medical.net/news/۲۰۲۳۰۲۲۷/Using-AI-for-early-diagnosis-of-cardiovascular-disease.aspx>.

(برای مشاهده و دسترسی به کد پایتون برنامه و سایر داکيومنت ها و اطلاعات بیشتر میتوانید به گیت هاب من به آدرس https://github.com/sajjadrezvani/ECG_Ai مراجعه فرمایید.)

Abstract

Heart diseases are a major cause of death worldwide that take many lives each year. Doctors use ECGs to analyze the heart's electrical signals and diagnose these diseases, either to prevent them or treat them after they occur. In comparison with humans, computer systems, including artificial intelligence, offer more accurate and faster diagnosis of heart diseases. Many models have been developed to improve the accuracy and speed of diagnosing heart diseases or suggest new approaches; but there are some challenges like complex signals or lack of data that cause model overfitting. In our research, we tested LSTM and CNN models on the PTB-XL dataset and found a one-dimensional CNN-based model with an accuracy of 99.2% in predicting disease across five categories. This accuracy performs better previous models and is comparable to the best accuracy in similar dataset.

Keywords: Electrocardiogram, Cardiac signal classification, Neural networks, Deep learning